



# Digital Image Processing

---

Arithmetic/Logic/Morphological Operations



# Arithmetic/Logic Operations

---

- Arithmetic/Logic operations are performed on the pixels of two or more images
- The operation is executed in a pointwise manner for all images taking part in
- Arithmetic:
  - Addition:  $p+q$
  - Subtraction:  $p-q$
  - Multiplication:  $p*q$
  - Division:  $p/q$
- Logic
  - And
  - Or
  - Xor
  - Not



# Arithmetic Operations

---

- Addition:  $C(x,y) = A(x,y) + B(x,y)$
- Applications:
  - Remove additive noise
  - Generative additive effect

# Arithmetic Operations

- Addition:

- $C(x,y) = \alpha A(x,y) + \beta B(x,y)$



# Arithmetic Operations

- Addition: Remove additive noise

- $g_i(x,y) = f(x,y) + n_i(x,y), \quad i=1,2,\dots,M, \quad n \sim (0, \sigma), \text{ iid}$
- Averaging:  $g(x,y) = 1/M (g_0(x,y) + g_1(x,y) + \dots + g_M(x,y))$
- $D(g) = 1/M D(n)$





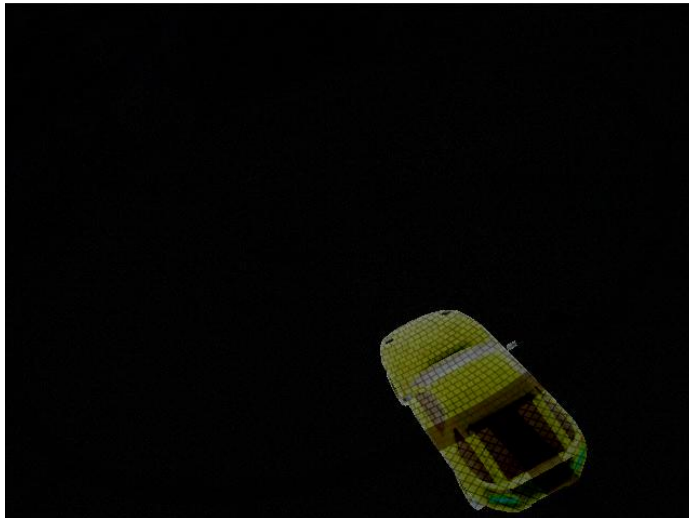
# Arithmetic Operations

---

- Subtraction:  $C(x,y) = A(x,y) - B(x,y)$
- Applications:
  - Foreground extraction
  - Motion detection
  - Enhancement

# Arithmetic Operations

- Subtraction:
  - Foreground extraction





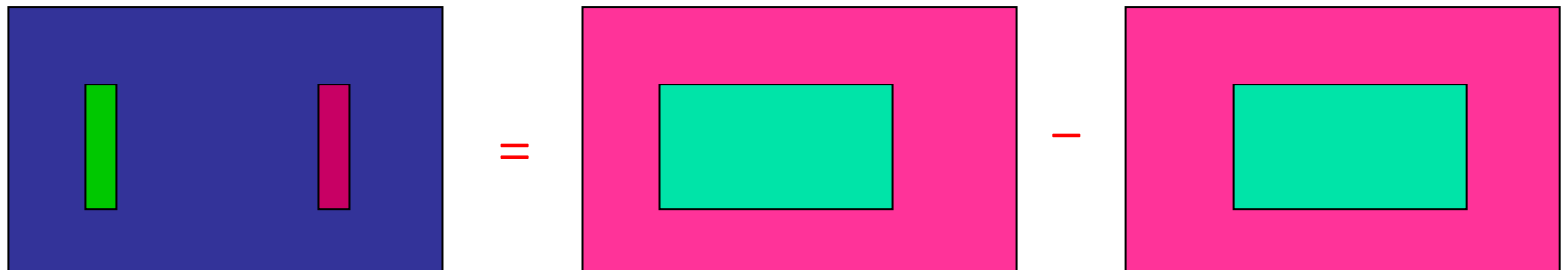
# Arithmetic Operations

- Subtraction:
  - Motion detection

$T1(x,y)$  : Image at time 1,

$T2(x,y)$  : Image at time 2,

$$g(x,y) = T2(x,y) - T1(x,y)$$





# Arithmetic Operations

- Subtraction:
  - Edge Enhancement



Image

—



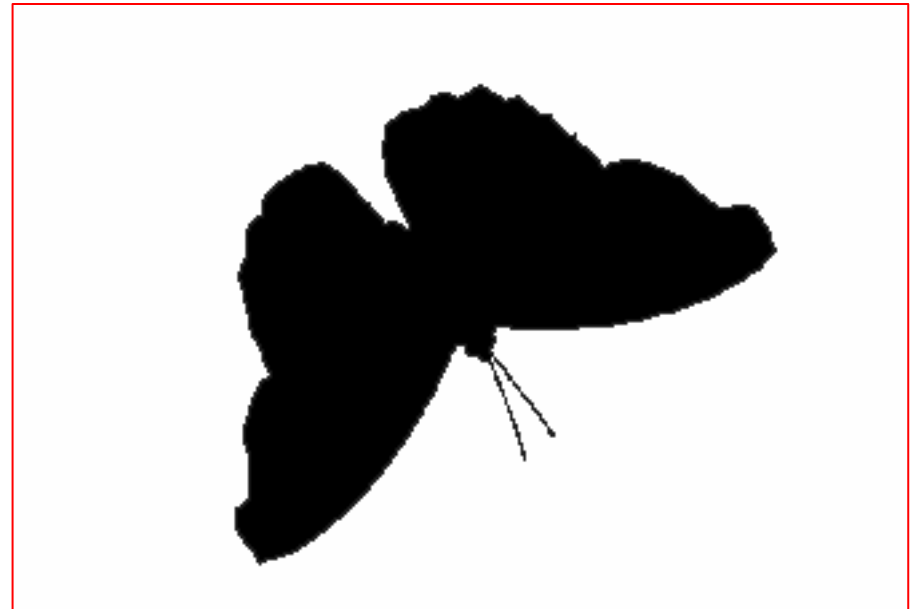
Blurred Image

=



# Logic Operations

- Not:  $g(x,y) = 255 - f(x,y)$



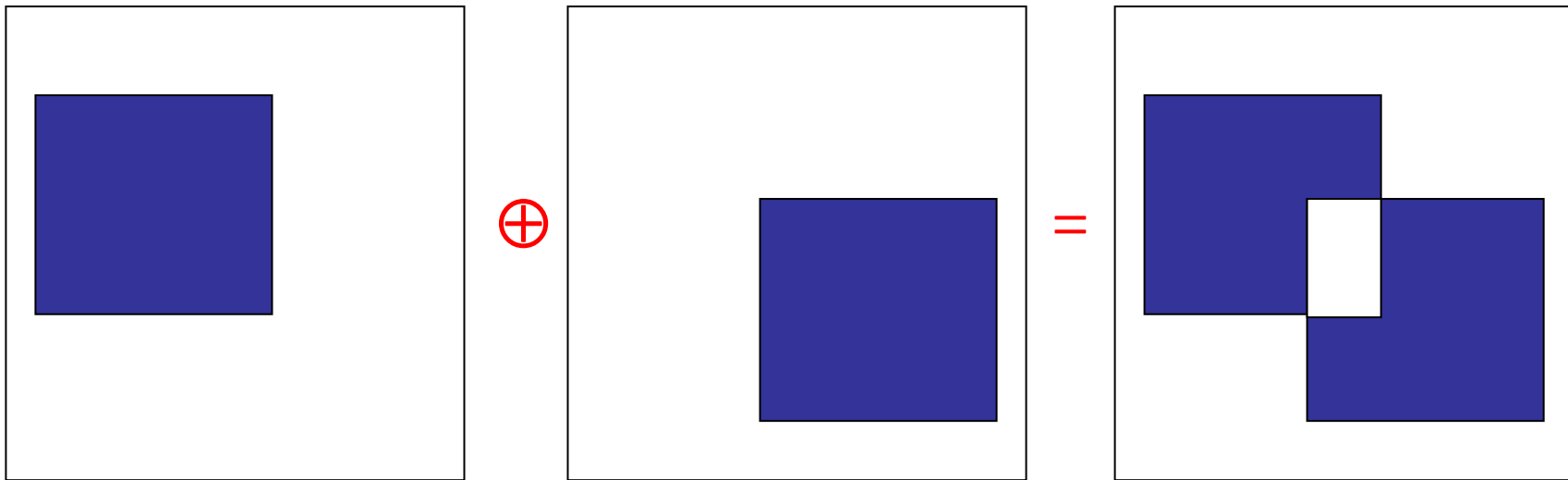
# Logic Operations

- Not:  $g(x,y) = 255 - f(x,y)$



# Logic Operations

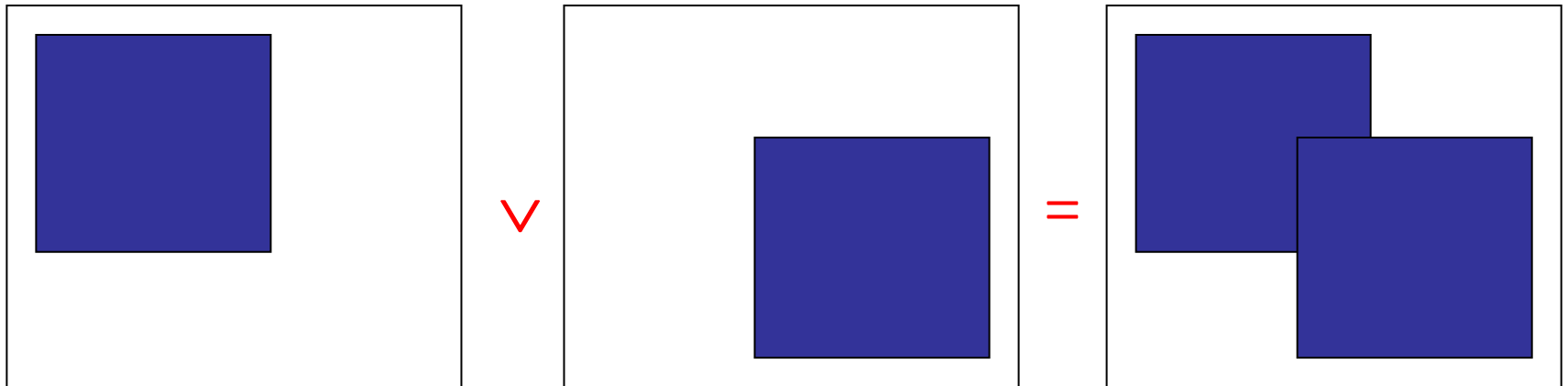
- Xor:  $g(x,y) = f(x,y) \oplus h(x,y)$



Foreground: 1; Background: 0

# Logic Operations

- Or:  $g(x,y) = f(x,y) \vee h(x,y)$
- Application: Set union



Foreground: 1; Background: 0



# Logic Operations

---

- And:  $g(x,y) = f(x,y) \wedge h(x,y)$
- Application: Set intersection



# Logic Operations

- And:  $g(x,y) = f(x,y) \wedge h(x,y)$



=



Is it possible to use **OR** to achieve this ?



$\wedge$







# Binary Image Processing

---

- Introduction
- Set theory review
- Morphological filtering
  - Erosion and dilation
  - Opening and closing
  - Hit-or-miss, boundary extraction, ...
- Skeleton via distance transform



# Binary Images

---

- Images only consist of two colors (tones): white or black

Numerical example (image of a square block)

0	0	0	0	0	0	0	0
0	0	0	0	0	0	0	0
0	0	255	255	255	255	0	0
0	0	255	255	255	255	0	0
0	0	255	255	255	255	0	0
0	0	255	255	255	255	0	0
0	0	0	0	0	0	0	0
0	0	0	0	0	0	0	0

Phil

# Why are binary images special?

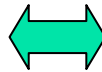
- Since pixels are either white or black, the locations of white (black) pixels carry ALL information of binary images

Example

0	0	0	0
0	0	0	0
0	0	1	1
0	0	1	1

$f(m,n)$

matrix representation



$L=\{(3,3),(3,4),(4,3),(4,4)\}$



location of white pixels

set representation

It is often more convenient to consider the set representation than the matrix representation for binary images

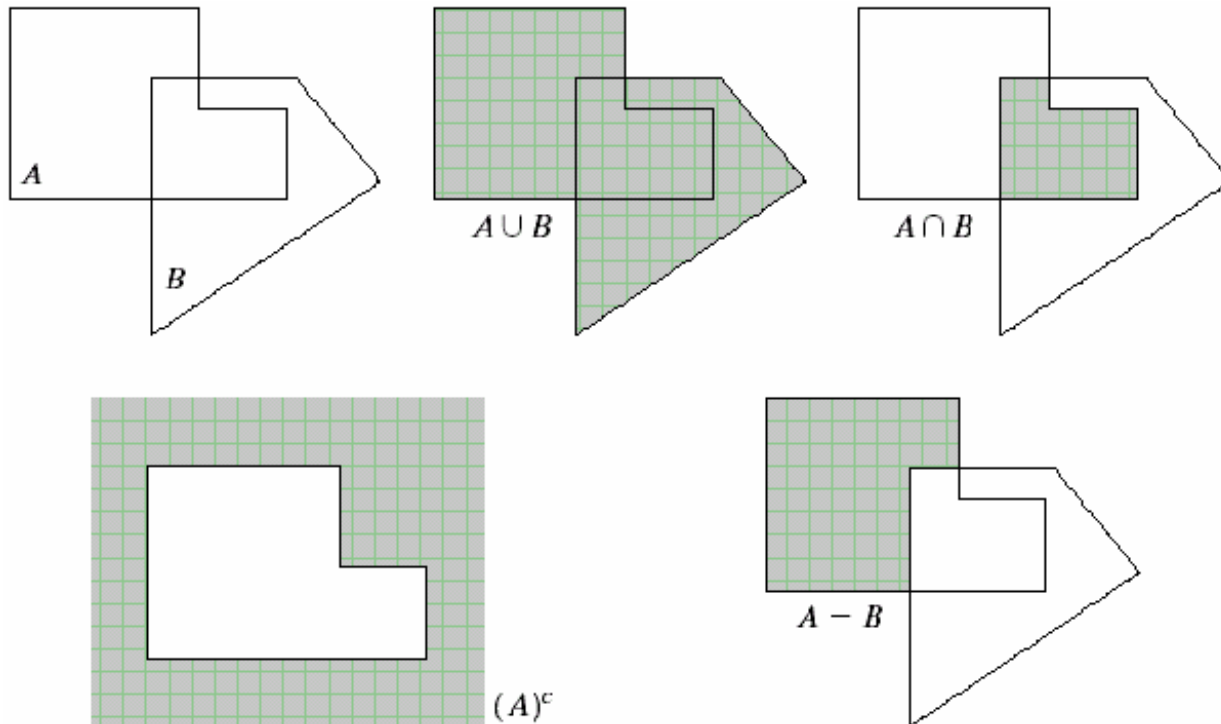


# Binary Image Processing

---

- Introduction
- Set theory review
- Morphological filtering
  - Erosion and dilation
  - Opening and closing
  - Hit-or-miss, boundary extraction, ...
- Skeleton via distance transform

# Set Theory Review



$$A^c = \{w \mid w \notin A\}$$

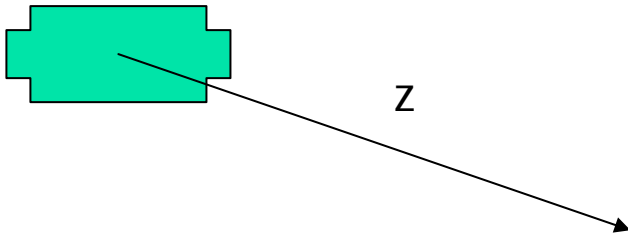
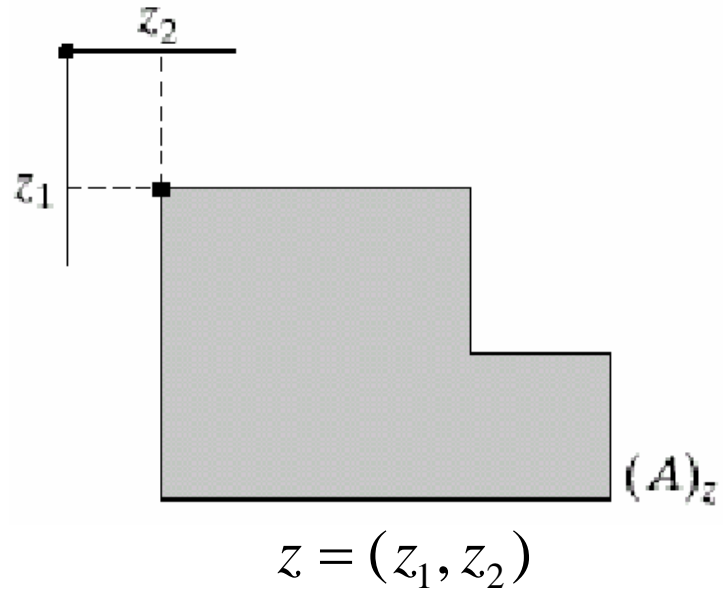
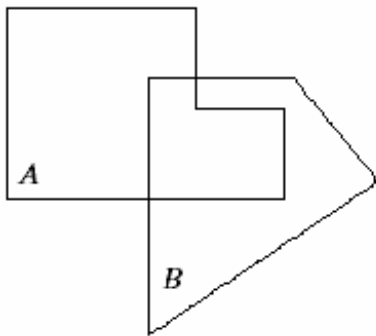
$$A - B = \{w \mid w \in A, w \notin B\}$$

Think of sets A and B as the collections of spatial coordinates

# Translation Operator

$$(A)_z = \{w \mid w = a + z, a \in A\}$$

Example



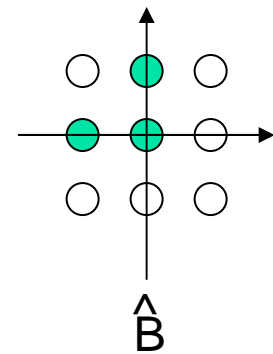
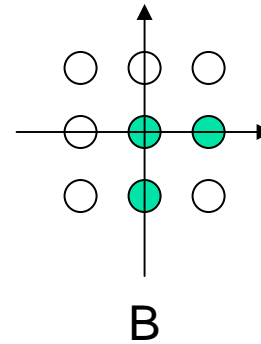
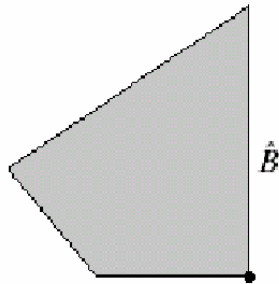
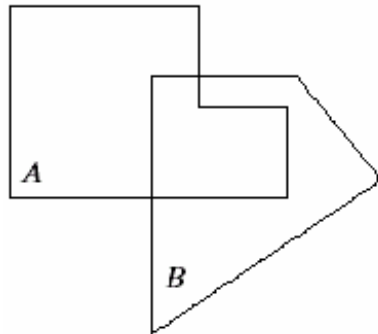




# Reflection Operator

$$\hat{B} = \{w \mid w = -b, b \in B\}$$

Example





# Binary Image Processing

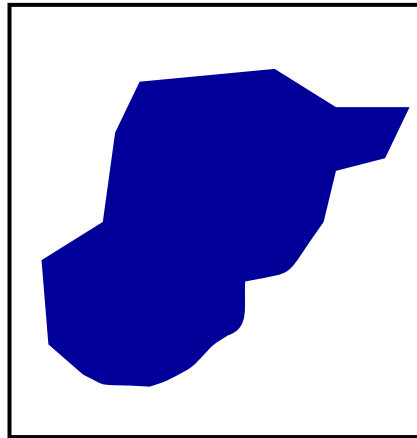
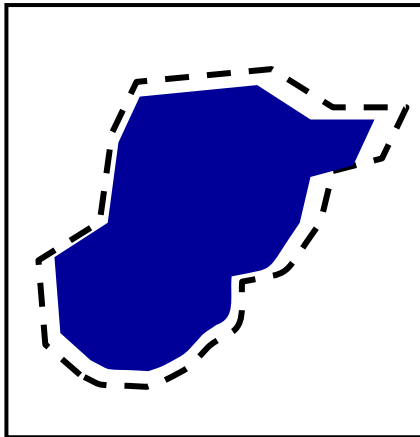
---

- Introduction
- Set theory review
- Morphological filtering
  - Erosion and dilation
  - Opening and closing
  - Hit-or-miss, boundary extraction, ...
- Skeleton via distance transform

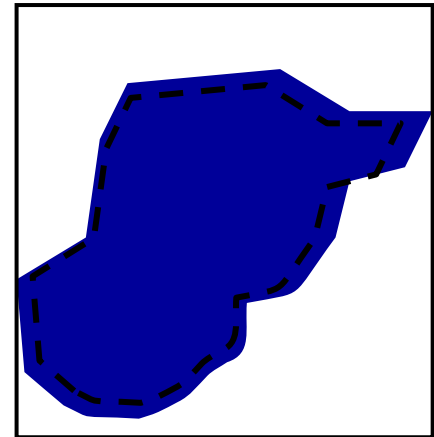
# Morphological filtering

- Erosion and dilation(腐蚀与膨胀)

腐蚀



膨胀



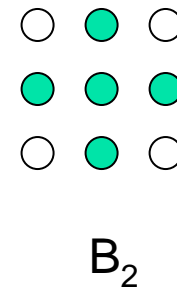
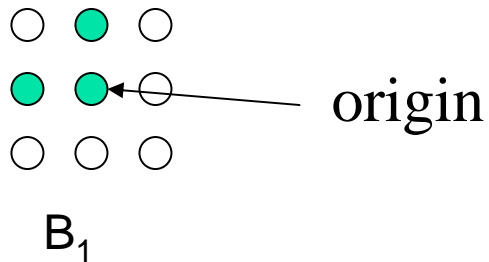


# Structuring Element B

---

Definition: a set of local neighborhood with specified origin

## Examples



Note: different structuring element leads to different filtering result



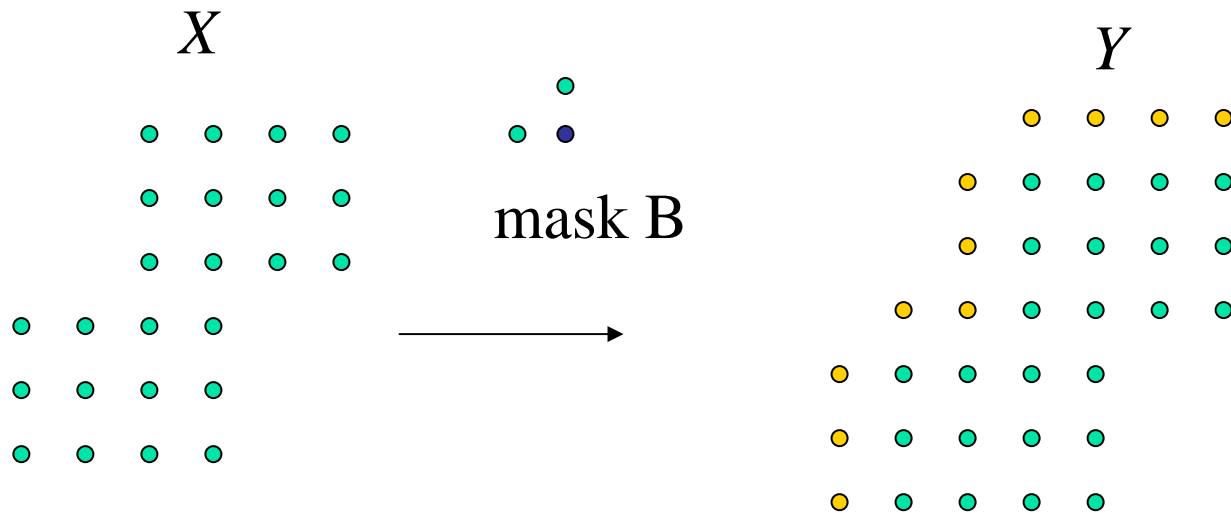
# Dilation(膨胀)

Definition  $Y = X \oplus B = \{z \mid (\hat{B})_z \cap X \neq \emptyset\}$

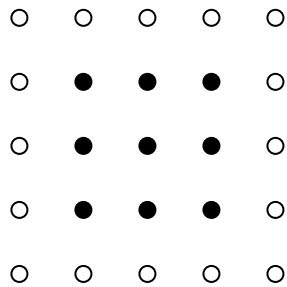
or

Example

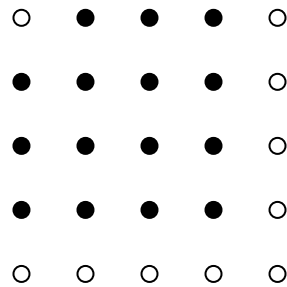
$$Y = X \oplus B = \bigcup_{b \in B} X_b = \bigcup_{x \in X} B_x = B \oplus X$$



# Illustration by Animation



$X$



$X \oplus B$

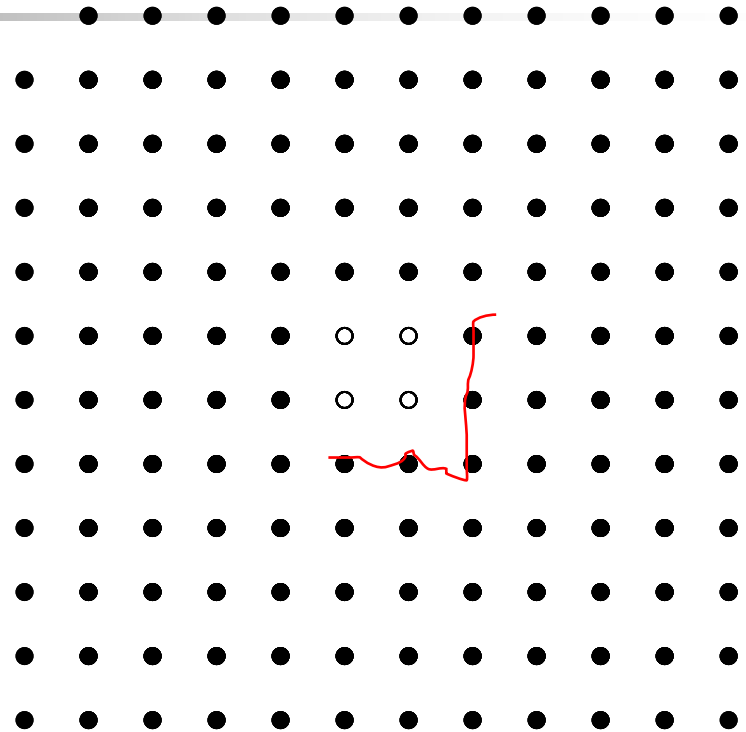
origin



$B$

$B = \{a, b, c\}$

$a = (0, 0), b = (0, -1), c = (-1, 0)$



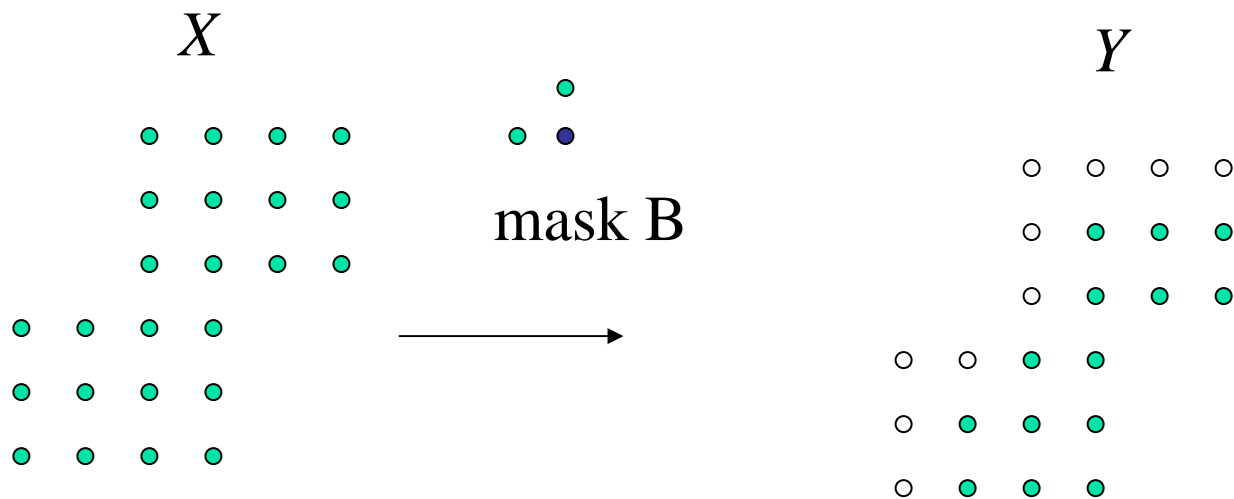
$X \oplus B \oplus B$

# Erosion(腐蚀)

## Definition

$$Y = X \ominus B = \{x : B_x \subset X\}$$

## Example







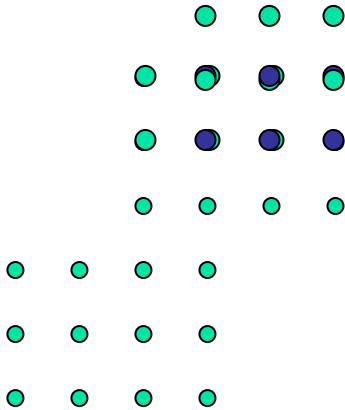
# Illustration By Animation

---

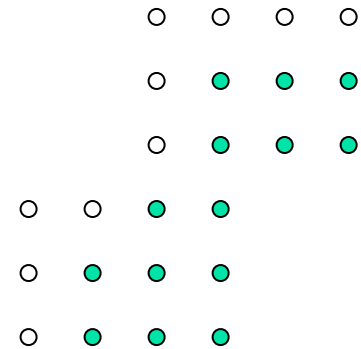


mask B

$X$



$Y$





# Duality Property\*

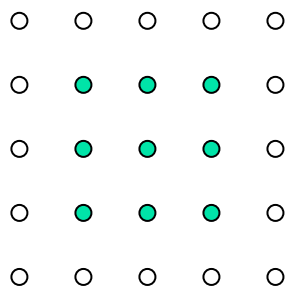
---

$$(X \ominus B)^c = X^c \oplus \hat{B}$$

Proof:

$$\begin{aligned}(X \ominus B)^c &= \{z \mid B_z \subseteq A\}^c \\ &= \{z \mid B_z \cap A^c = \emptyset\}^c \\ &= \{z \mid B_z \cap A^c \neq \emptyset\} \\ &= X^c \oplus \hat{B}\end{aligned}$$

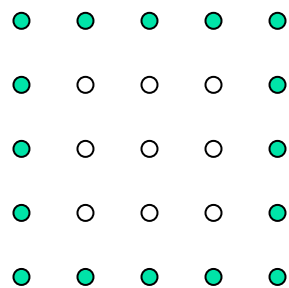
# Example



$X$



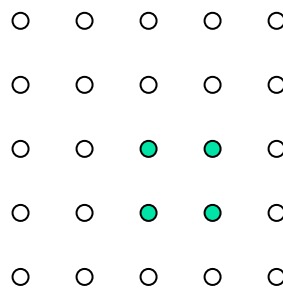
$B$



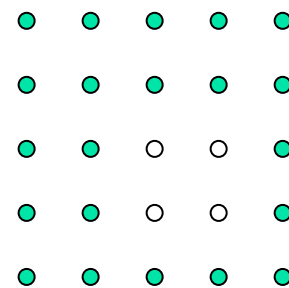
$X^c$



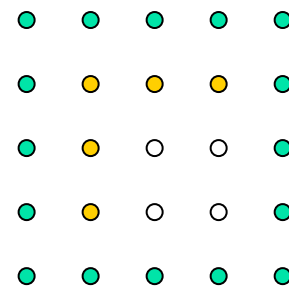
$\hat{B}$



$X \ominus B$



$(X \ominus B)^c$



$X^c \oplus \hat{B}$

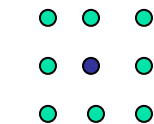
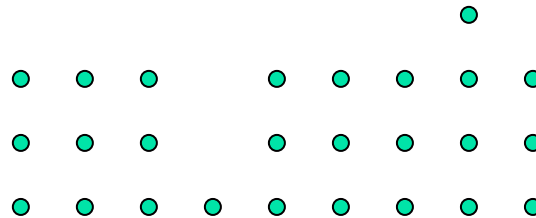
# Opening Operator

Definition

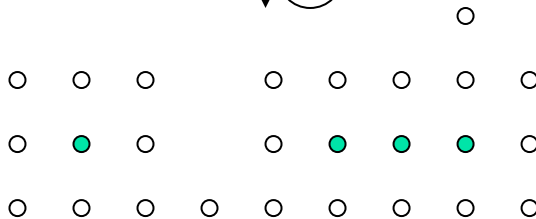
$$X \circ B = (X \ominus B) \oplus B$$

Example

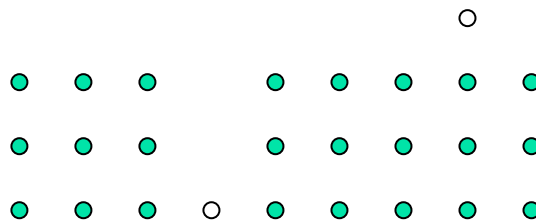
$X$



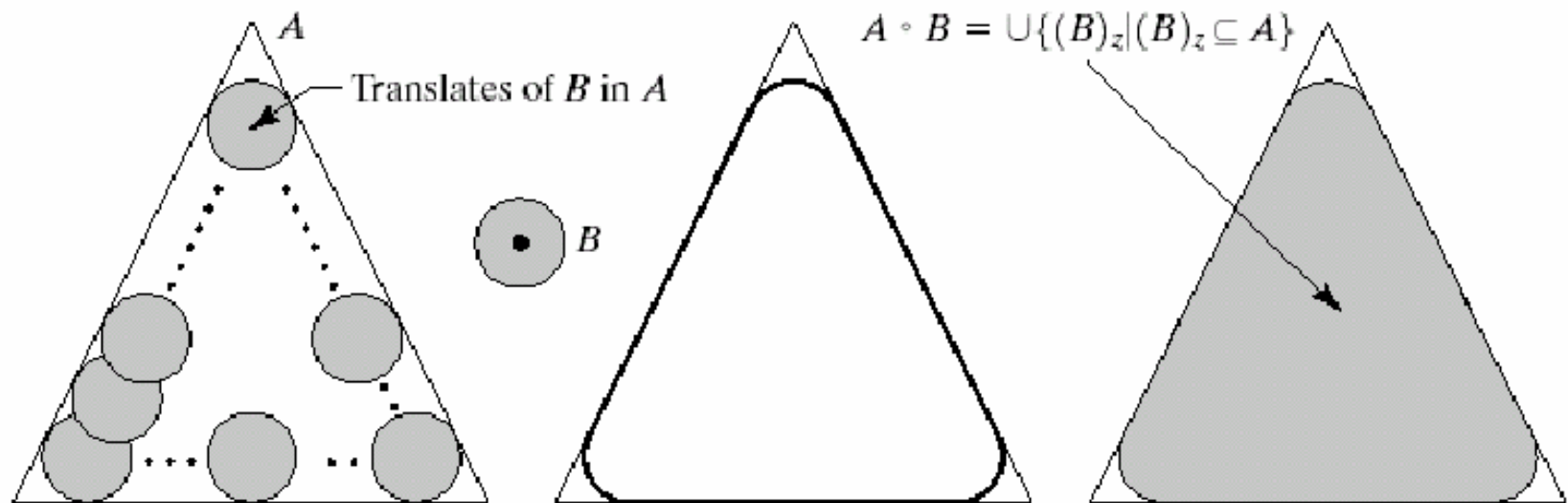
mask B



$X \circ B$



# Geometric Interpretation of Opening Operator



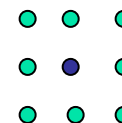
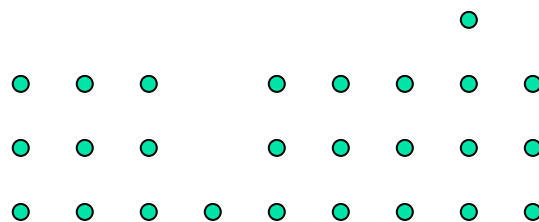
# Closing Operator

Definition

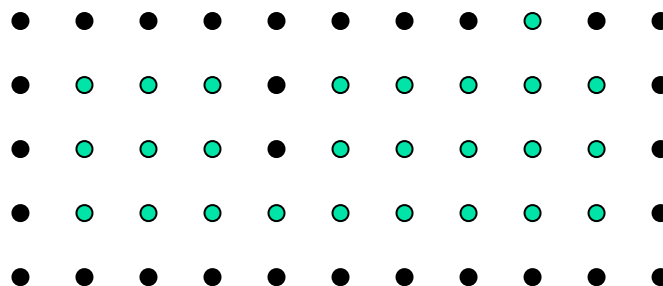
$$X \bullet B = (X \oplus B) \ominus B$$

Example

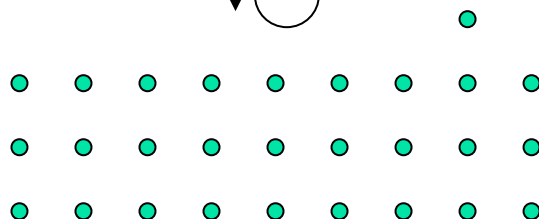
$X$



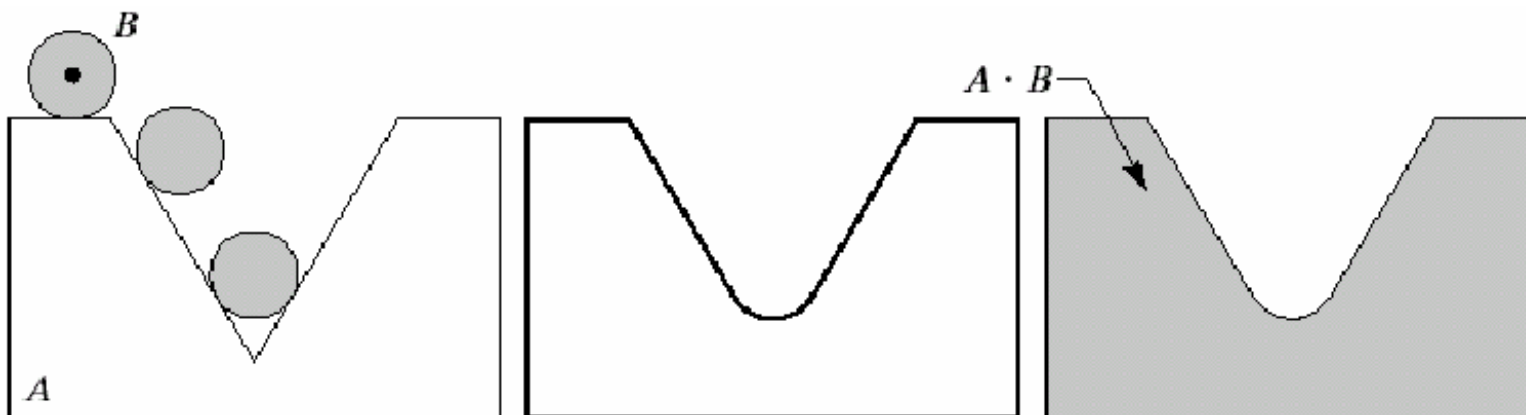
mask B



$X \bullet B$



# Geometric Interpretation of Closing Operator





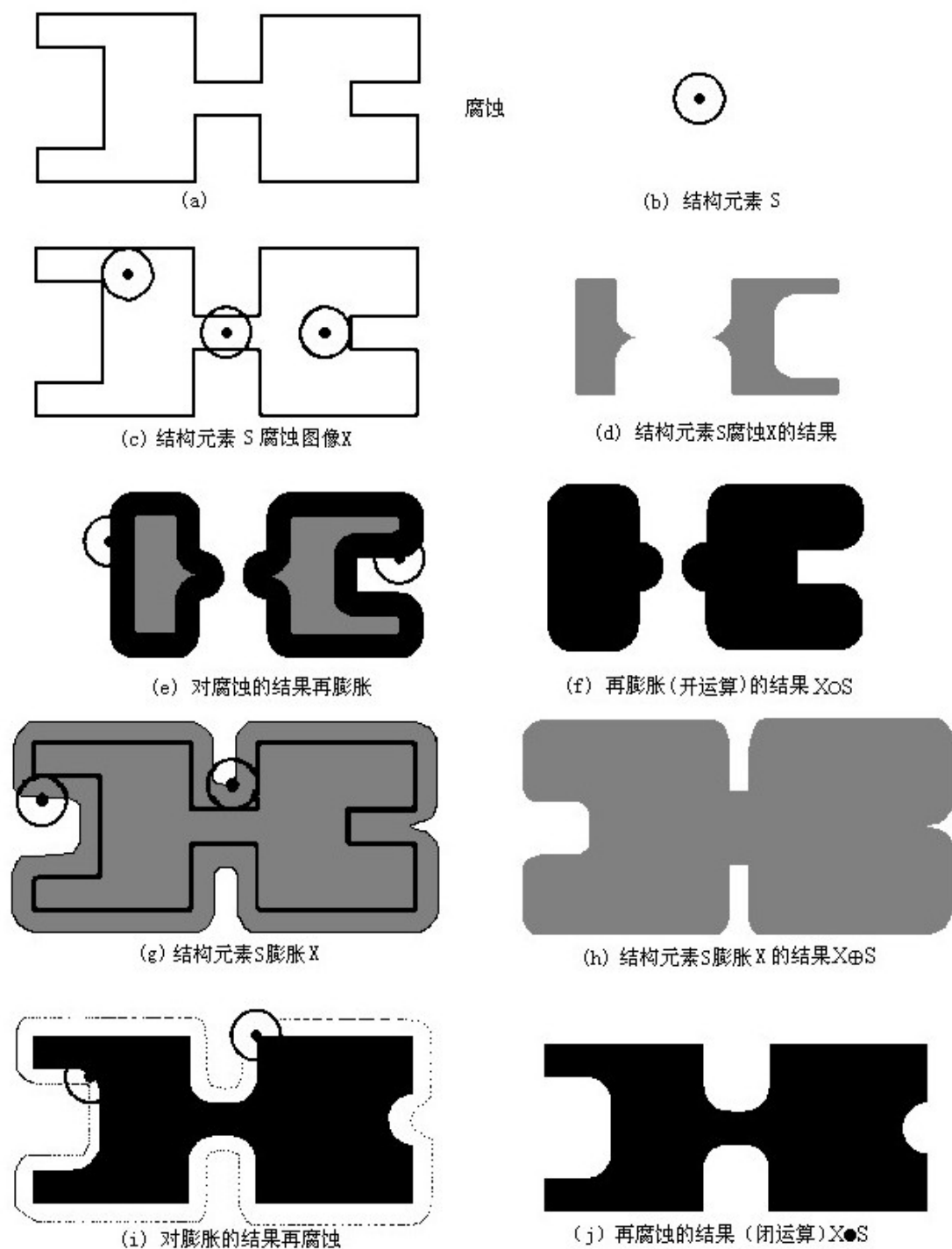


图8-12 开、闭运算示例

- (a) 原图像;
- (b) 结构元素  $S$ ;
- (c) 结构元素  $S$  腐蚀图像  $X$ ;
- (d) 结构元素  $S$  腐蚀  $X$  的结果;
- (e) 对腐蚀的结构再膨胀;
- (f) 再膨胀 (开运算) 的结果  $X \ominus S$ ;
- (g) 结构元素  $S$  膨胀  $X$ ;
- (h) 结构元素  $S$  膨胀  $X$  的结果  $X \oplus S$ ;
- (i) 对膨胀的结果再腐蚀;
- (j) 再腐蚀的结果 (闭运算)  $X \bullet S$

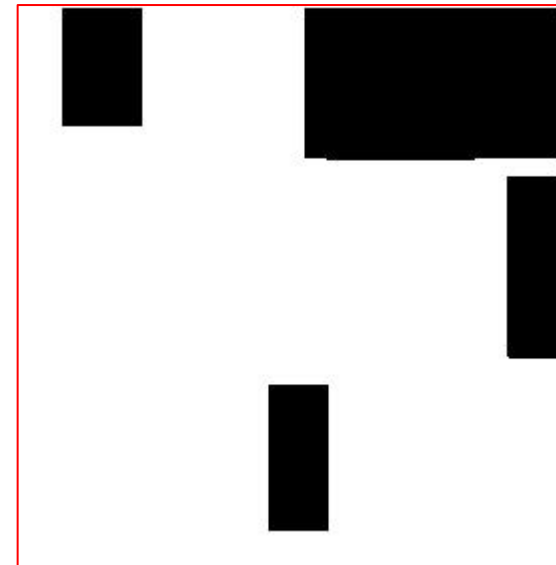
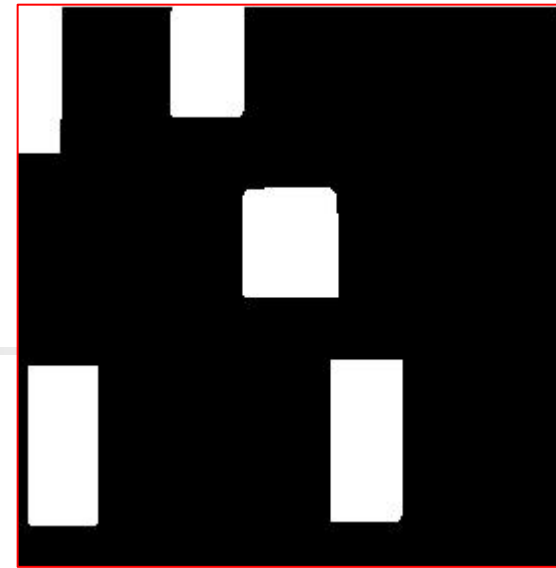
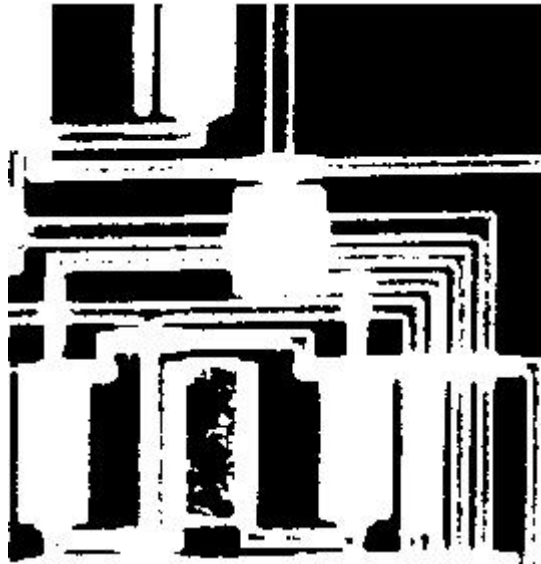
# Opening and Closing operations



- 开操作（Opening）：使图像的轮廓变得光滑，去除孤立噪声，断开狭窄的间断和消除细的突出物。
- 闭操作（Closing）：同样使图像的轮廓变得光滑，消除狭窄的间断和长细的鸿沟，消除小的孔洞，并填补轮廓线中的裂痕。

# Matlab demo:

## Opening and Closing



```
clear all;close all;
iptsetpref('ImshowBorder','tight');
BW1 = imread('circbw.tif');
figure,imshow(BW1);
mask=ones(40,30);
figure,imshow(mask);
SE = strel('rectangle',[40 30]);
%open operation equals erode_dilate
BW3 = imopen(BW1,SE);
figure,imshow(BW3);
%close operation equals dilate_erode
BW4 = imclose(BW1,SE);
figure,imshow(BW4);
```



# A Review of Homework IV

- Try build a skin color model and detect skin regions in the following picture. Submit your code and the result as a **binary image**.



```
temp=bwareaopen(temp,22); %clear up isolated blocks
```



## Properties of Opening and Closing Operators\*

---

### Opening

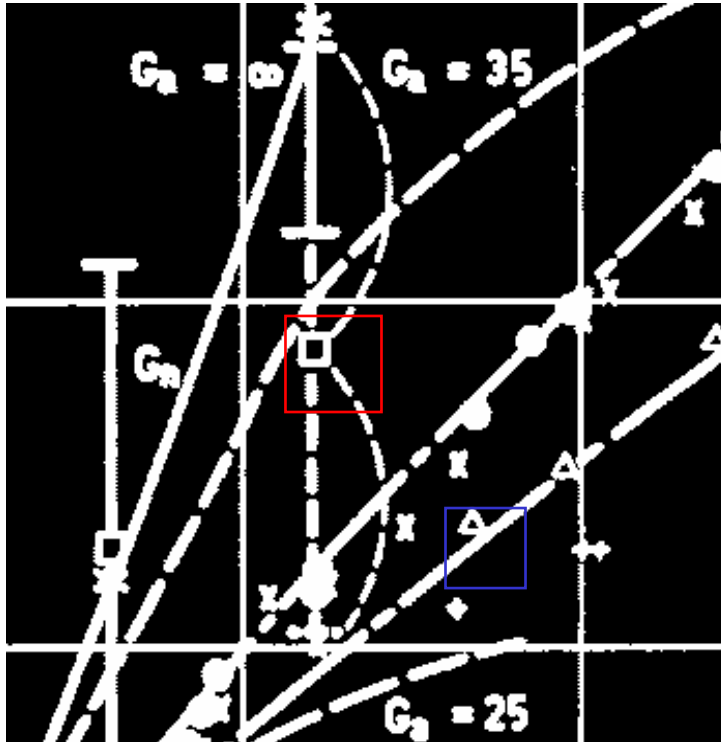
- $X \circ B \subseteq X$
- $X \subseteq Y \Rightarrow X \circ B \subseteq Y \circ B$
- $(X \circ B) \circ B = X \circ B$

### Closing

- $X \subseteq X \bullet B$
- $X \subseteq Y \Rightarrow X \bullet B \subseteq Y \bullet B$
- $(X \bullet B) \bullet B = X \bullet B$

$$(X \bullet B)^c = X^c \circ \hat{B} \quad (X \circ B)^c = X^c \bullet \hat{B}$$

# A Little Game of Matching



Templates

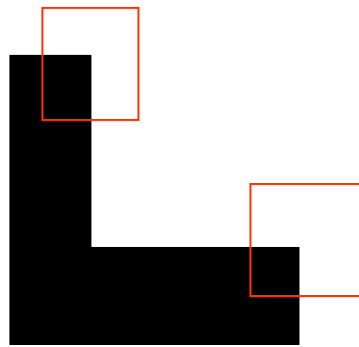


A

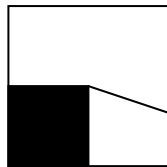


B

# Illustration by a Simpler Case



X



origin

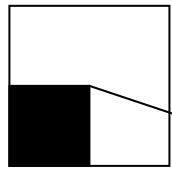
Template B

How to find the match of A in X  
using a computer?

Hit: the southwest quadrant must be black in X  
Hit: the other three quadrants must be white in X

Hit: the southwest quadrant must be black in X  
Hit: the other three quadrants must be black in  $X^c$

# Matching via Hit-or-Miss



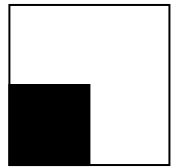
origin

Template B

Hit: the southwest quadrant must be black in X



$$X_1 = X \ominus B_1$$



Template B<sub>1</sub>

Hit: the other three quadrants must be black in X<sup>c</sup>



Template B<sub>2</sub>

$$X_2 = X^c \ominus B_2$$

To satisfy both conditions, we need to take the **Intersection of X<sub>1</sub> and X<sub>2</sub>**



# Hit-or-Miss Operator



Definition

$$X \circledast B = (X \ominus B_1) \cap (X^c \ominus B_2)$$

Why  $\ominus$  ?

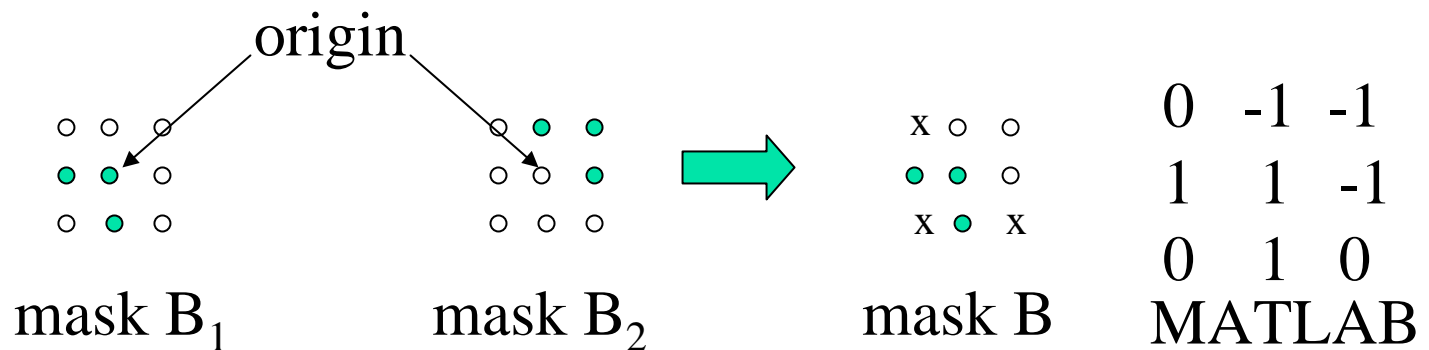
Why complement?

Why intersection?

Hit

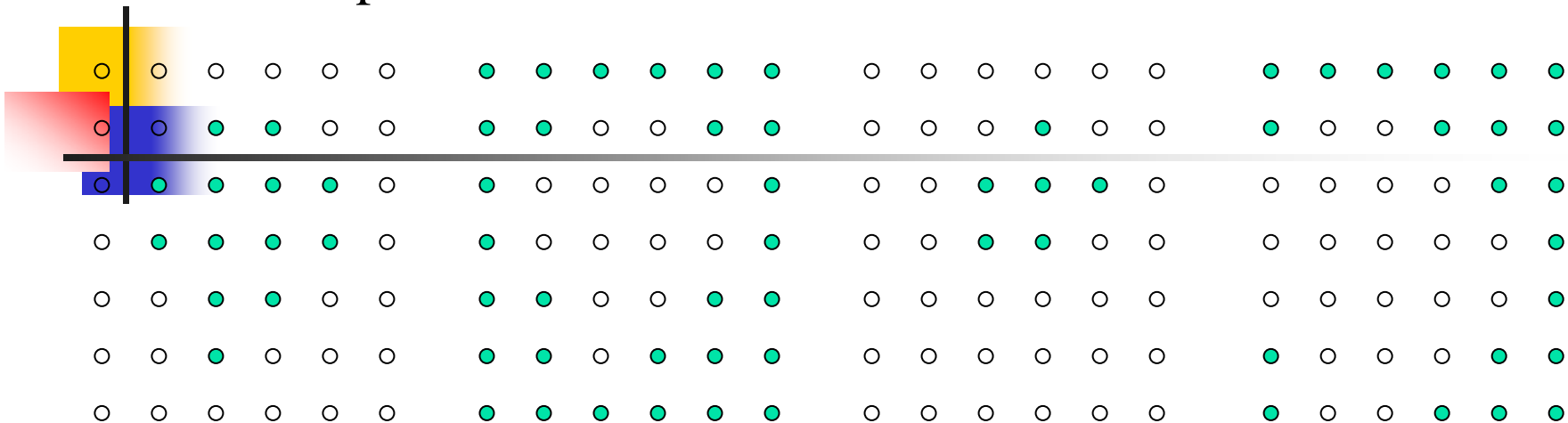
Miss

Structuring element example



(MATLAB function: `bwhitmiss`)

# Example 1



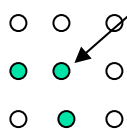
$X$

$X^c$

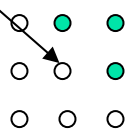
$X \ominus B_1$

$X^c \ominus B_2$

origin



mask  $B_1$



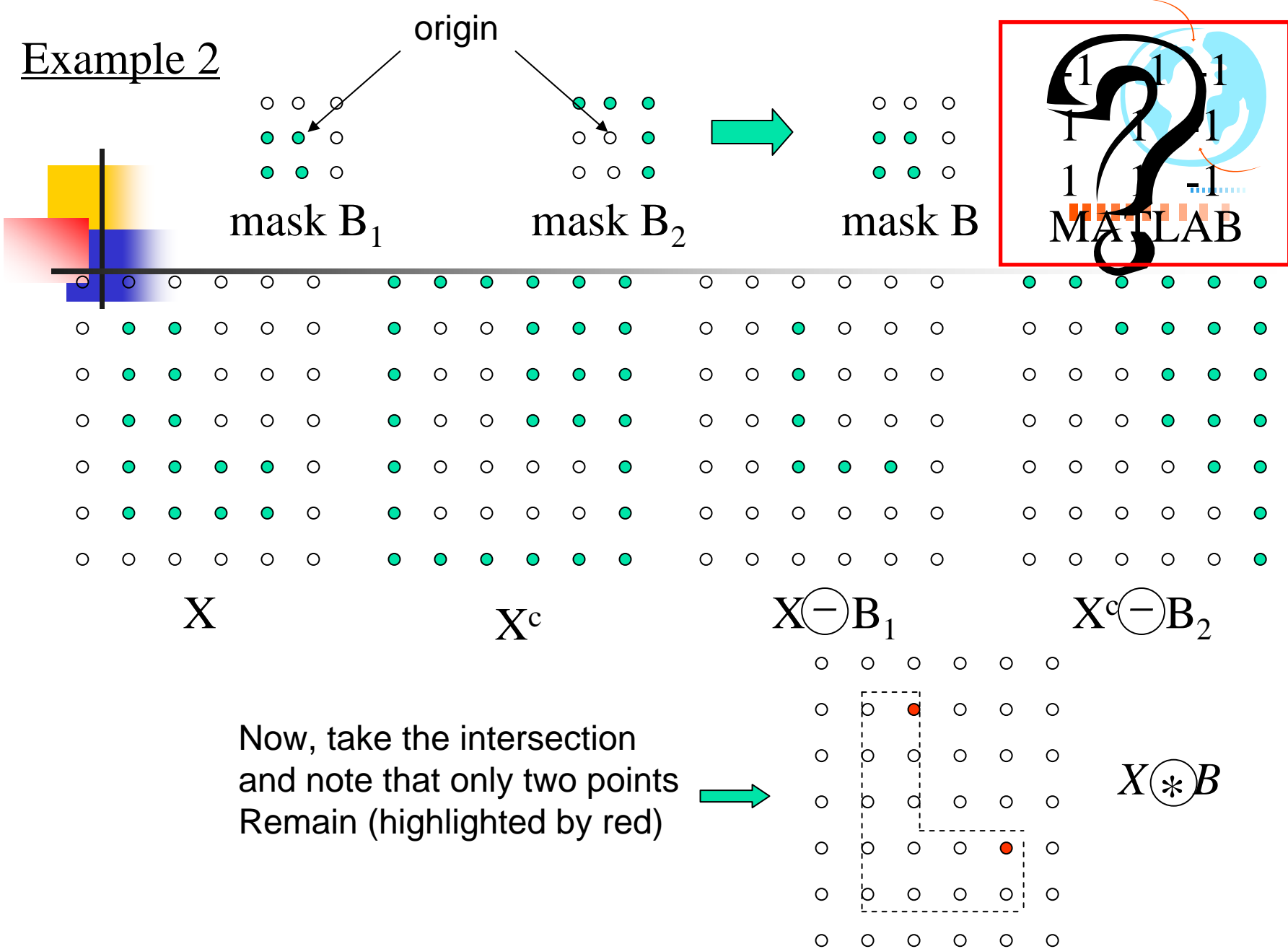
mask  $B_2$



$X \circledast B$

$$X \circledast B = (X \ominus B_1) \cap (X^c \ominus B_2)$$

## Example 2



# Roadmap of Morphological Filtering



basic set operators (complement, union, intersection, difference)  
dilation/erosion operators



closing/opening, Hit-or-Miss operators



**morphological filters/algorithms**  
(boundary, region filling, thinning)

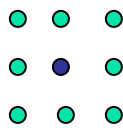
# 1. Boundary Extraction



Definition

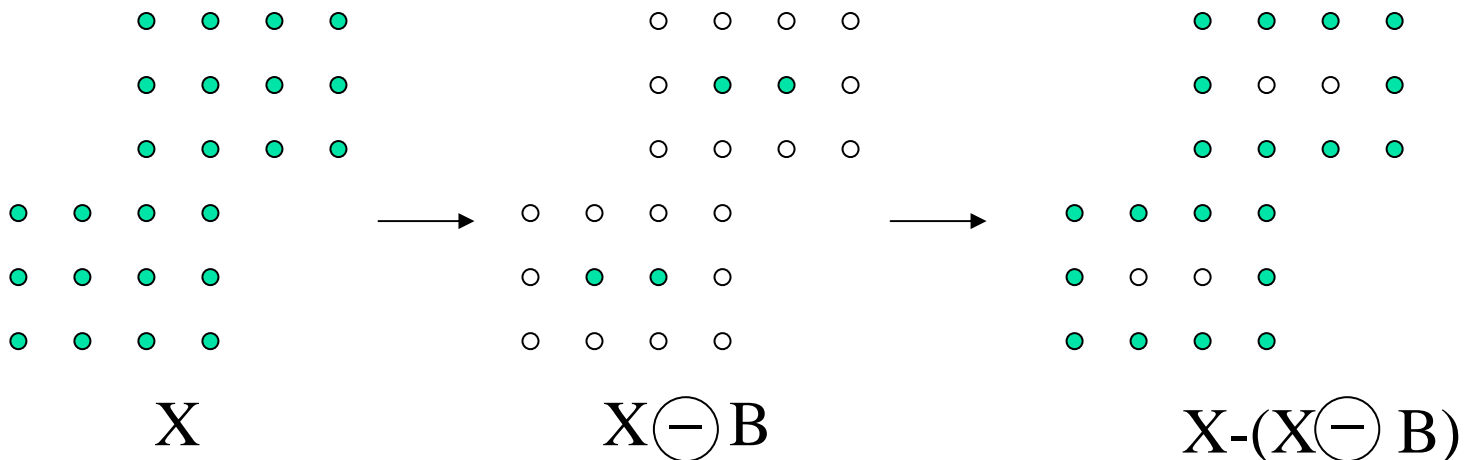
$$\partial X = X - (X \ominus B)$$

Example

  
mask B

How about

$$\partial X = (X \oplus B) - X?$$

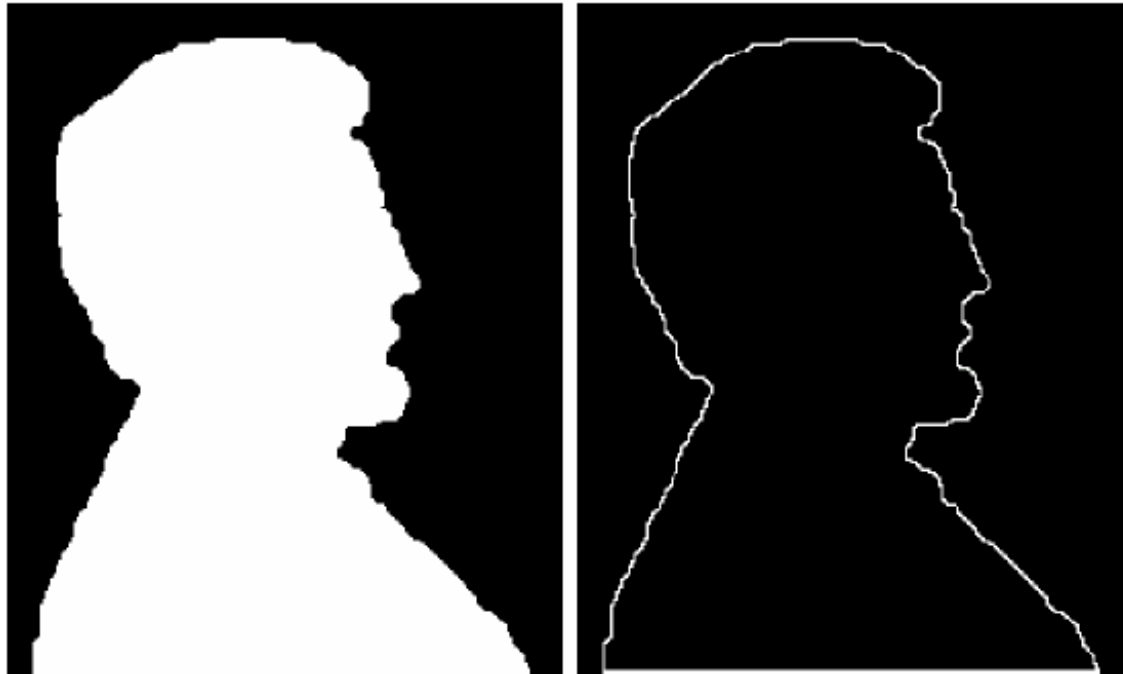


MATLAB function: `bwmorph(...,'remove')`



# Image Example

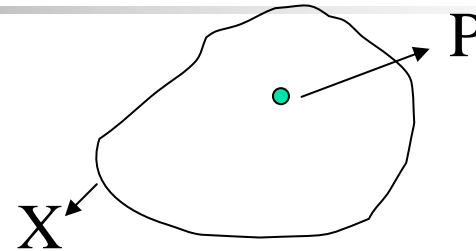
---



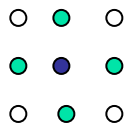
$X$

$\partial X$

## 2. Region Filling



**Idea:** recursively expand the region around the seed  $P$   
but stop the expansion at the boundary  $X$



mask  $B$

Iterations:

$$Y_0 = P$$

$$Y_k = (Y_{k-1} \oplus B) \cap X^c, k=1,2,3\dots$$

expansion

stop at the boundary

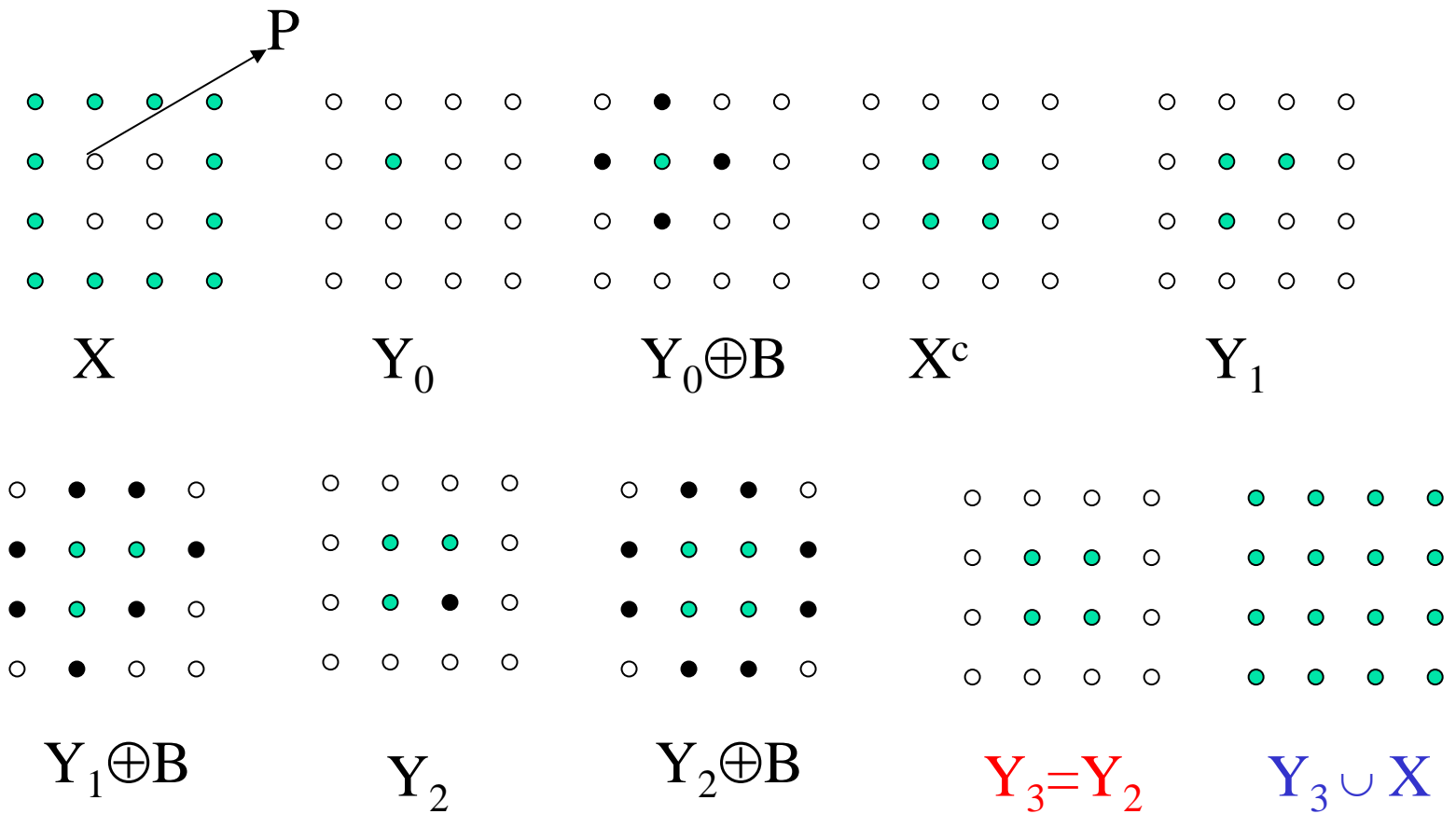
Why dilation?

Why intersection with  $X^c$ ?



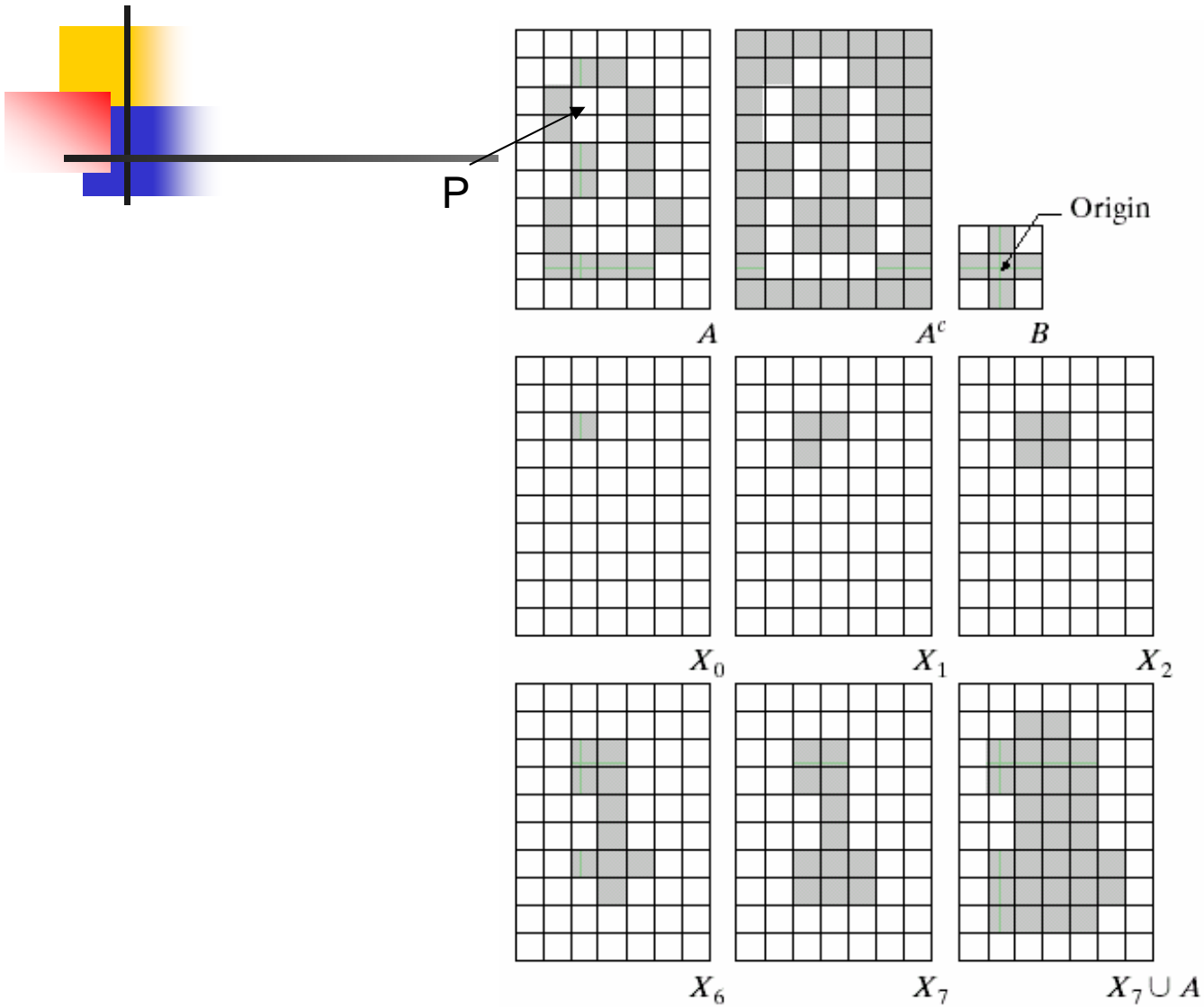
Terminate when  $Y_k = Y_{k-1}$ , output  $Y_k \cup X$

# Image Example





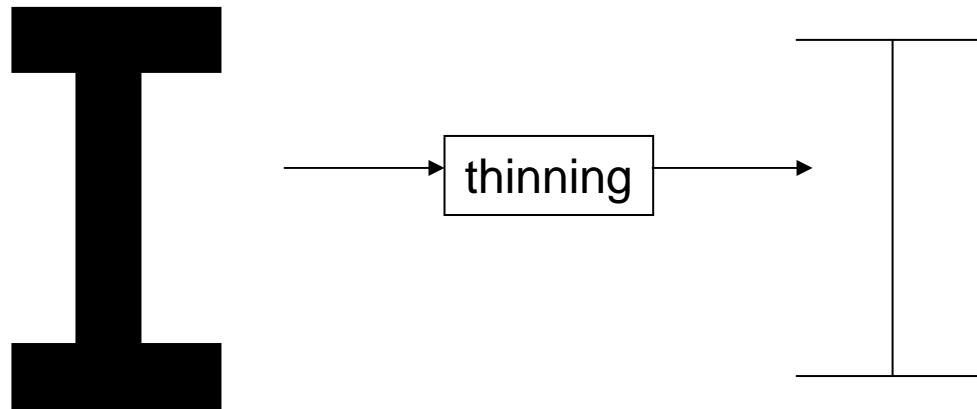
# Additional Example





## 3. Thinning

---

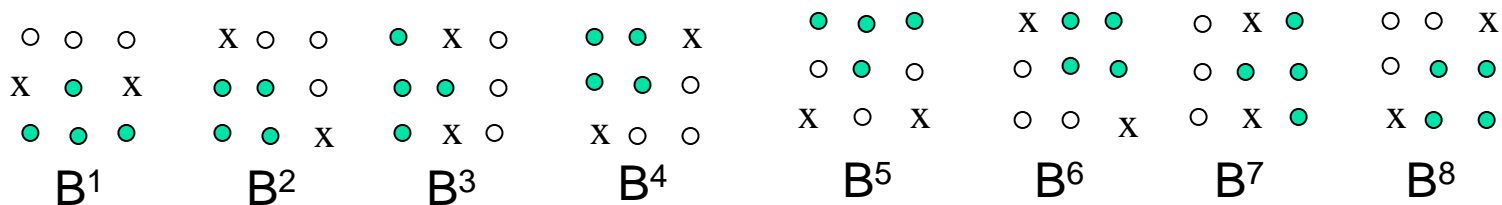


Intuitively, thinning finds the skeleton of a binary image (you will learn a different way of finding skeleton by distance transform later)

# Thinning Algorithm\*

Basic idea:

- Use Hit-or-Miss operator as a sifter
- Use multiple masks to characterize different patterns



$$X_0 = X$$

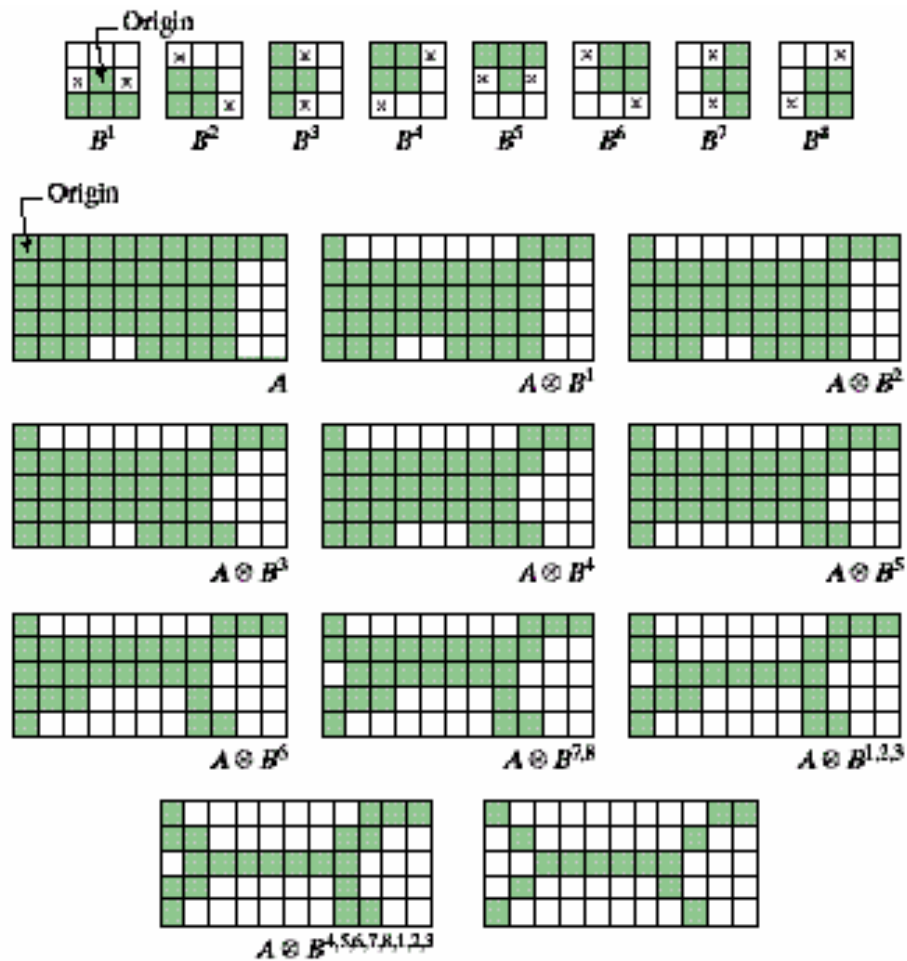
$$X_k = (\dots ((X_{k-1} \otimes B^1) \otimes B^2 \dots \otimes B^8)$$

where  $X \otimes B = X - X \circledast B$

Stop the iteration when  $X_k = X_{k-1}$

Why eight different B's?  
Why hit-or-miss?

# Image Example





# Binary Image Processing

---

- Introduction
- Set theory review
- Morphological filtering
  - Erosion and dilation
  - Opening and closing
  - Hit-or-miss, boundary extraction, ...
- Skeleton via morphological filtering



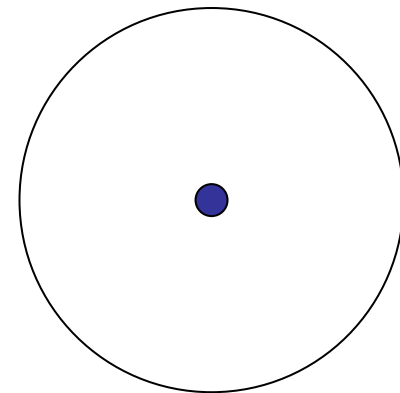
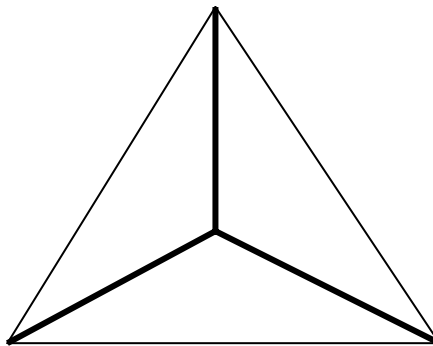
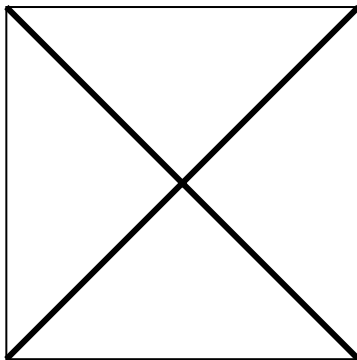
# Medial Axis (Skeleton)

---

- Definition

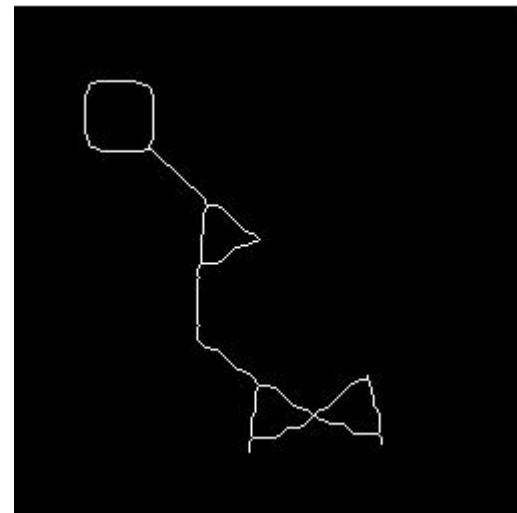
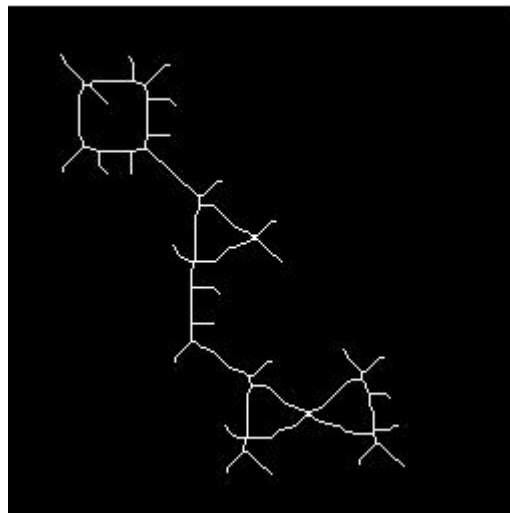
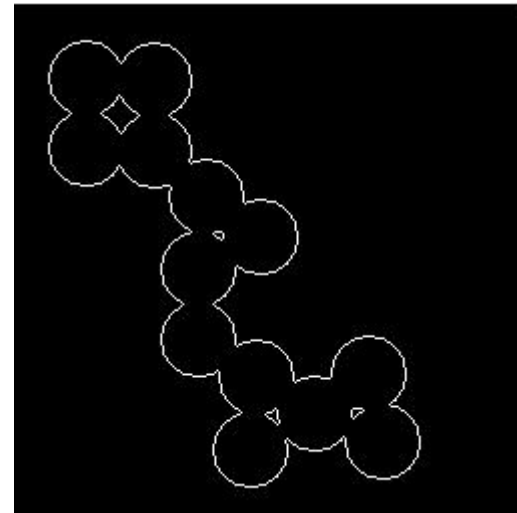
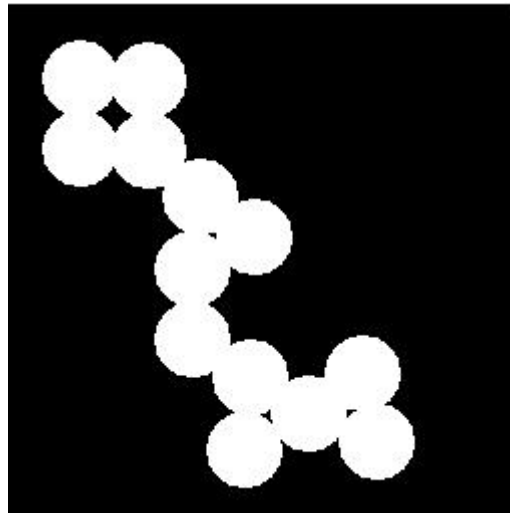
Suppose that a fire line propagates with constant speed from the contour of a connected object towards its inside, then all those points lying in positions where at least two wave fronts of the fire line meet during the propagation will constitute a form of a **skeleton**

- Examples



# Matlab demos:

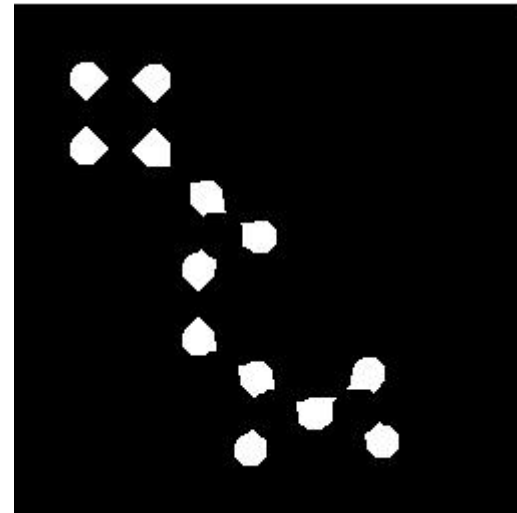
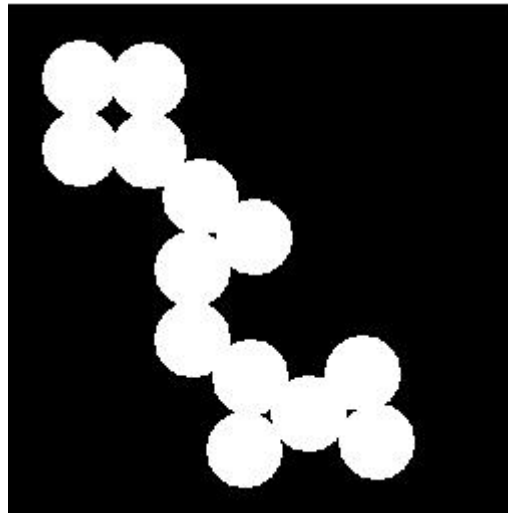
```
clear all;close all;  
iptsetpref('ImshowBorder','tight');  
BW = imread('circles.png');  
figure,imshow(BW);  
BW2 = bwmorph(BW,'remove');  
figure, imshow(BW2);  
BW3 = bwmorph(BW,'skel',Inf);  
figure, imshow(BW3);  
BW4 = bwmorph(BW,'thin',Inf);  
figure, imshow(BW4);
```



# Grayscale image demos

```
clear all;close all;  
iptsetpref('ImshowBorder','tight');  
originalBW = imread('circles.png');  
figure,imshow(originalBW);  
se = strel('disk',11);  
erodedBW = imerode(originalBW,se);  
figure, imshow(erodedBW);
```

```
I = imread('cameraman.tif');  
figure,imshow(I);  
se = strel('ball',5,5);  
I2 = imerode(I,se);  
figure, imshow(I2);
```







# Digital Image Processing

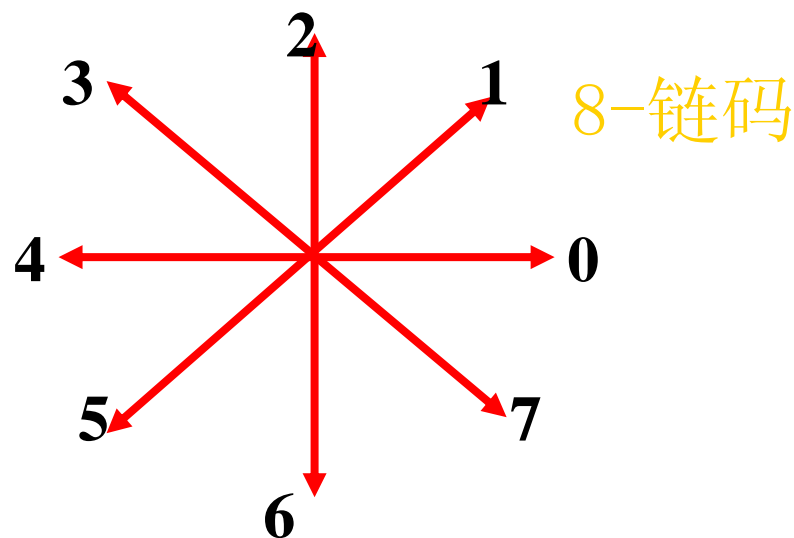
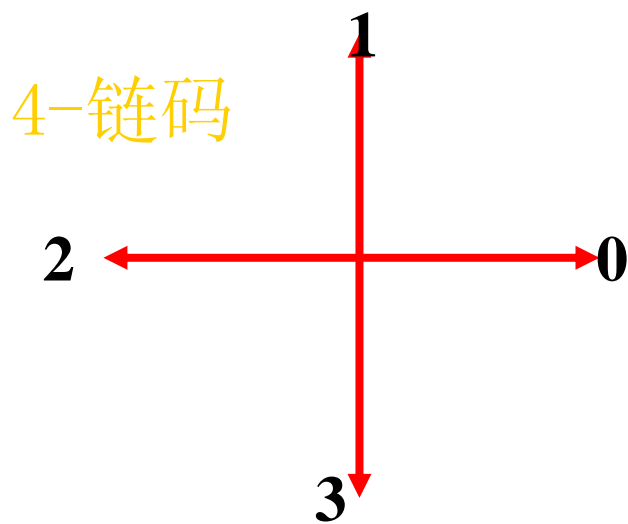
---

Representation and Description

# 表示与描述:表示法设计

## ■ 链码

- 定义：1) 链码是一种边界的编码表示法。
- 2) 用边界的方向作为编码依据。为简化边界的描述。一般描述的是边界点集。





# 表示与描述:表示法设计

---

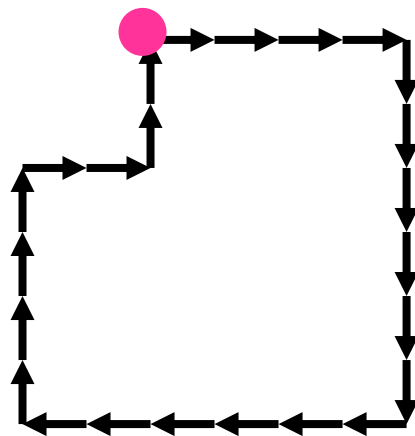
- 链码

- 算法:

- 给每一个线段一个方向编码。
    - 有4-链码和8-链码两种编码方法。
    - 从起点开始, 沿边界编码, 至起点被重新碰到, 结束一个对象的编码。

# 表示与描述:表示法设计

- 链码举例:



4-链码: 000033333322222211110011



# 表示与描述:表示法设计

---

- 链码

- 问题1:

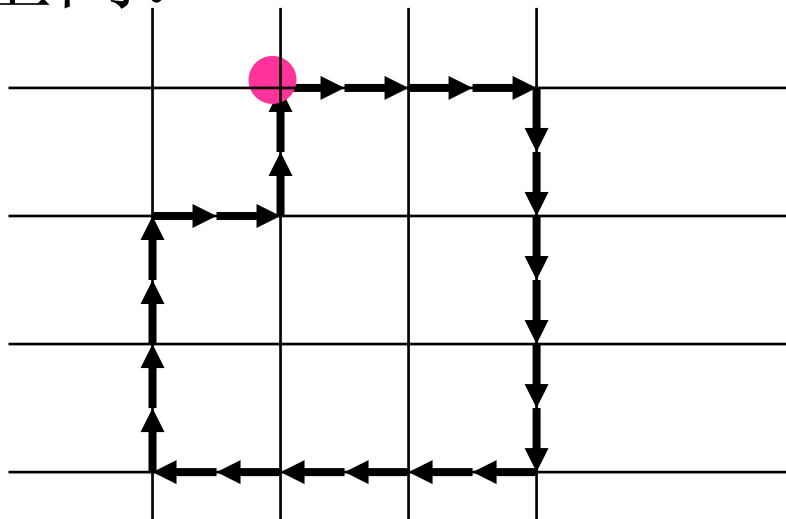
- 1) 链码相当长。
- 2) 噪音会产生不必要的链码。

- 改进1:

- 1) 加大网格空间。
- 2) 依据原始边界与结果的接近程度, 来确定新点的位置。

# 表示与描述:表示法设计

- 加大网格空间:



4-链码: 003332221101



# 表示与描述:表示法设计

---

- 链码

- 问题2:

- 1) 由于起点的不同,造成编码的不同
- 2) 由于角度的不同,造成编码的不同

- 改进2:

- 1) 从固定位置作为起点(最左最上)开始编码
- 2) 通过使用链码的首差代替码子本身的方式



# 表示与描述:表示法设计

---

## ■ 链码

■ 循环首差链码: 用相邻链码的差代替链码

例如: 4-链码 10103322 循环首差为:

33133030

循环首差:  $1 - 2 = -1(3)$        $3 - 0 = 3$

$0 - 1 = -1(3)$        $3 - 3 = 0$

$1 - 0 = 1$        $2 - 3 = -1(3)$

$0 - 1 = -1(3)$        $2 - 2 = 0$





# 表示与描述:表示法设计

---

## ■ 链码

### ■ 应用背景:

- 如果边界的本身对于旋转和比例修改来说是无变化的，使用链码才是正确的。一般来说这是不可能的，实际应用时还需要改进。
- 用链码后，对象只要用1)起点坐标，2)周长（边界点数）3)链码，4)对象编号，就可以描述。



# 表示与描述:表示法设计

---

- 外形特征

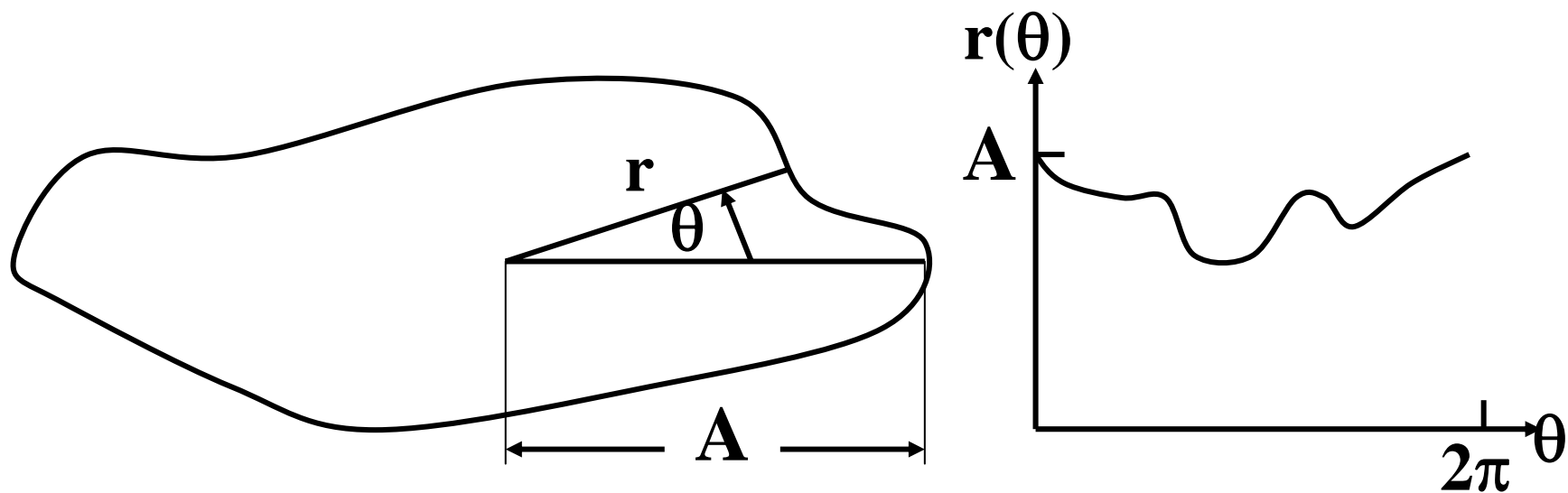
- 基本思想:

- 外形特征是一种用一维函数表达边界的方法。基本思想是把边界的表示降到一维函数

# 表示与描述:表示法设计

## ■ 外形特征

- 函数定义——质心角函数：边上的点到质心的距离 $r$ ，作为夹角的 $\theta$ 的函数。

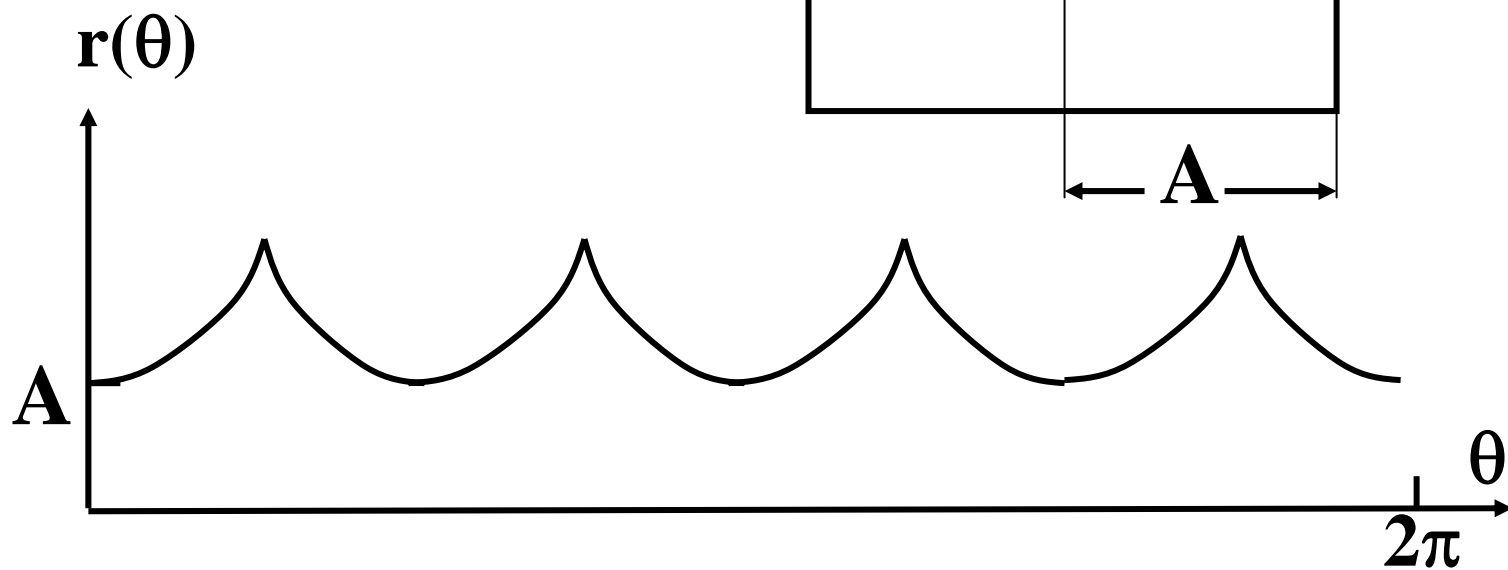
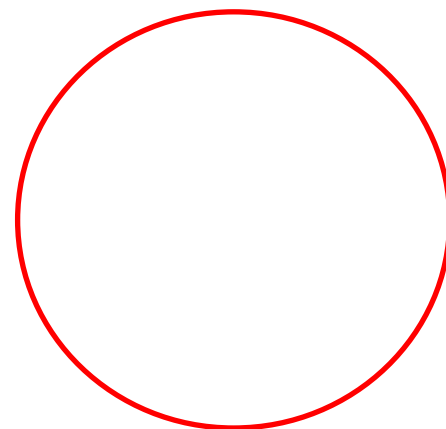
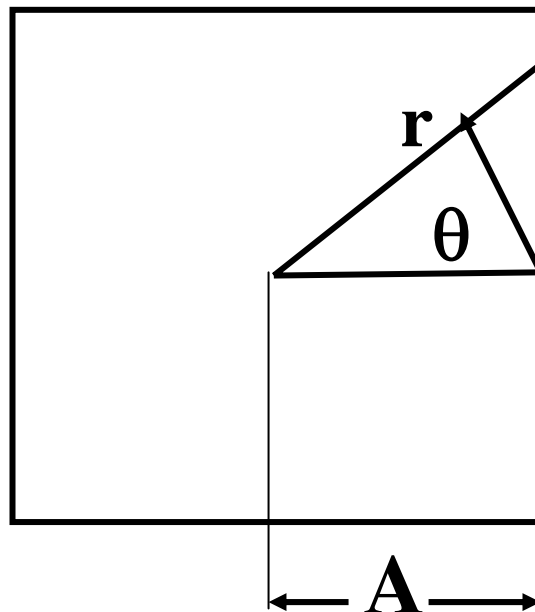




# 表示与描述:表示法设计

## ■ 外形特征

■ 举例:





# 表示与描述:表示法设计

---

- 外形特征

- 问题: 函数过分依赖于旋转和比例的变化

- 改进:

- 对于旋转——两种改进:

- a.选择离质心最远的点作为起点

- b.选择从质心到主轴最远的点作为起点

- 对于比例变换:

- 对函数进行正则化, 使函数值总是分布在相同的值域里, 比如说 $[0, 1]$



# 表示与描述:表示法设计

---

## ■ 区域骨架

### ■ 基本思想

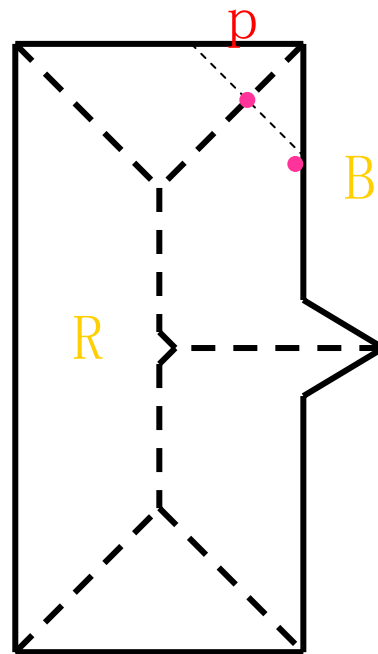
- 表示一个平面区域结构形状的重要方法是把它削减成图形。这种削减可以通过细化（也称为抽骨架）算法，获取区域的骨架来实现

- Blum的中轴变换方法（MAT）

设:  $R$  是一个区域,  $B$  为  $R$  的边界点, 对于  $R$  中的点  $p$ , 找  $p$  在  $B$  上“最近”的邻居。如果  $p$  有多于一个的邻居, 称它属于  $R$  的中轴（骨架）

# 表示与描述:表示法设计

- 区域骨架
  - 基本思想
  - 问题：计算量大





# 表示与描述:表示法设计

---

- 区域骨架

- 算法改进思想

- 在保证产生正确的骨架的同时，改进算法的效率。比较典型的是一类细化算法，它们不断删去边缘，但保证删除满足：

- (1) 不移去端点

- (2) 不破坏连通性

- (3) 不引起区域的过度腐蚀



# 数学形态学图像处理

---

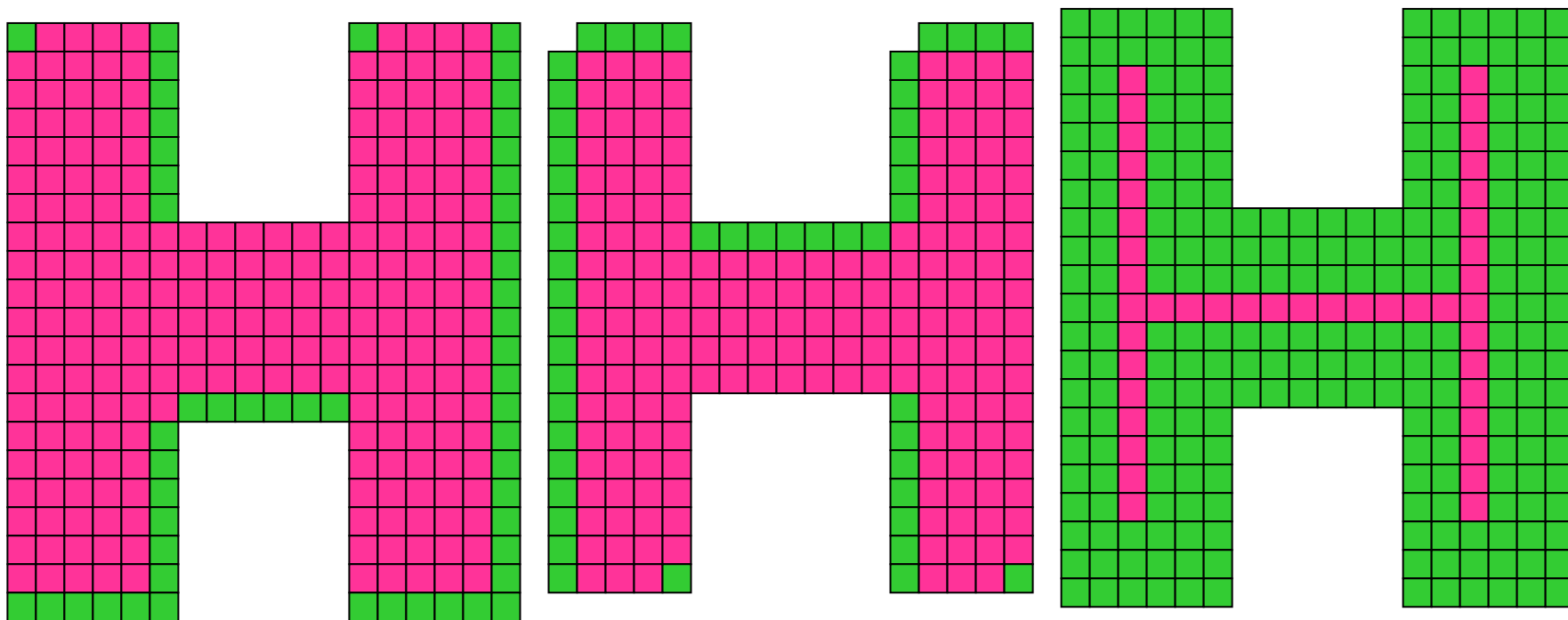
## ■ 细化

- 思想：在不破坏连通性的前提下，细化图像。
- 算法实现：
  - 1) 做腐蚀操作，但不立刻删除像素，只打标记
  - 2) 将不破坏连通性的标记点删掉。
  - 3) 重复执行，将产生细化结果

## 3.3.2 表示与描述:表示法设计

- 区域骨架

- 例:





# 表示与描述：边界描述子

---

- 边界描述子
  - 简单描述子
  - 形状数
  - 矩量



# 表示与描述：边界描述子

## ■ 简单描述子

### ■ 边界的周长:

是最简单的描述符之一。沿轮廓线计算像素的个数，给出了一个长度的近似估计

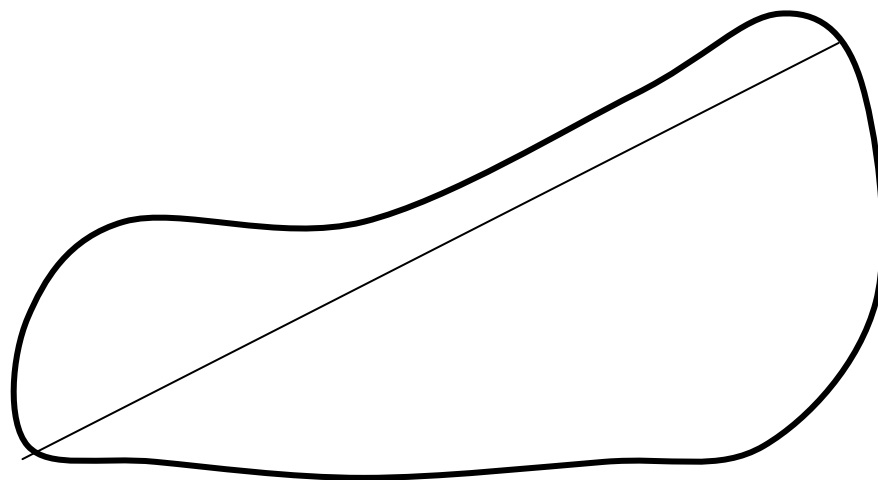
### ■ 边界的直径: 边界B的直径是:

$$\text{Diam}(B) = \max[D(p_i, p_j)]$$

D是欧氏距离或几何距离， $p_i, p_j$ 是边界上的点。直径的长度和直径的两个端点连线（这条线被称为边界的主轴）的方向，是关于边界的有用的描述符。

# 表示与描述：边界描述子

- 简单描述子
  - 边界的直径举例





# 表示与描述：边界描述子

## ■ 形状数

- 形状数定义：最小循环首差链码。

- 循环首差链码：用相邻链码的差代替链码

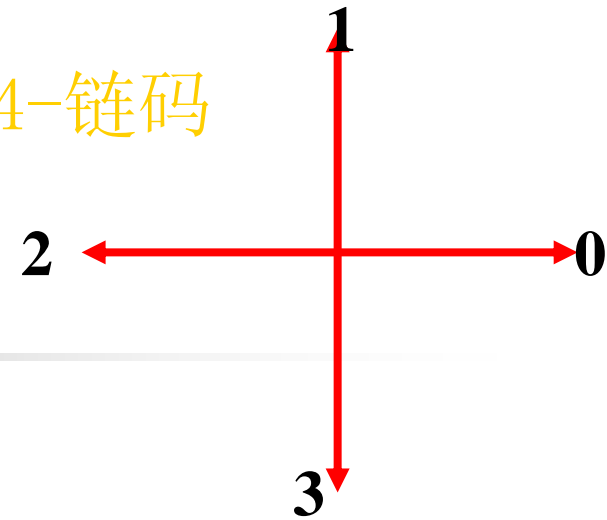
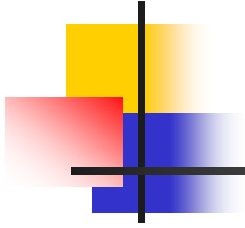
例如：4-链码 10103322

循环首差为： 33133030

循环首差：

$1 - 2 = -1(3)$	$3 - 0 = 3$
$0 - 1 = -1(3)$	$3 - 3 = 0$
$1 - 0 = 1$	$2 - 3 = -1(3)$
$0 - 1 = -1(3)$	$2 - 2 = 0$

# 表示与描述：边界描述子 4-链码



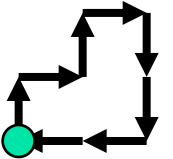
## ■ 形状数

- 形状数定义：最小循环首差链码。

例如： 4-链码 : 10103322

循环首差 : 33133|030

形状数 : 03033133



- 形状数阶数n的定义：

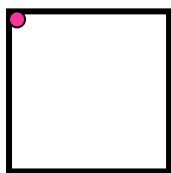
形状数中阿拉伯数字的个数，4邻域封闭边界阶数是偶数。如order4、6、8。

# 表示与描述：边界描述子

## ■ 形状数

■ 形状数例如：

序号4

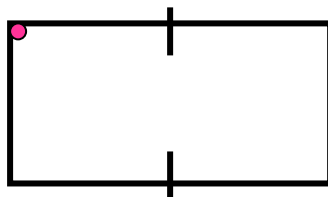


链码：0321

首差：3333

形状：3333

序号6

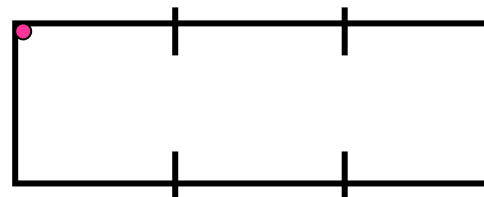


链码：003221

首差：303303

形状：033033

序号8



链码：00032221

首差：30033003

形状：00330033

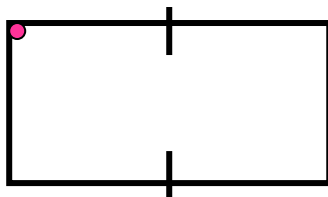


# 表示与描述：边界描述子

- 形状数

- 形状数例如：

序号6

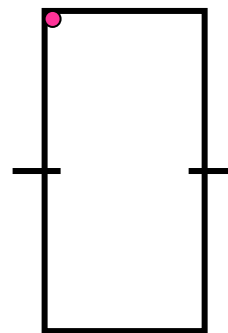


链码：003221

首差：303303

形状：033033

序号6



链码：033211

首差：330330

形状：033033



# 表示与描述：边界描述子

---

- 形状数

- 问题：

- 虽然链码的首差是不依赖于旋转的，但一般情况下边界的编码依赖于网格的方向。

- 改进：

- 规整化网格方向，具体方法如下：



# 表示与描述：边界描述子

---

## ■ 形状数

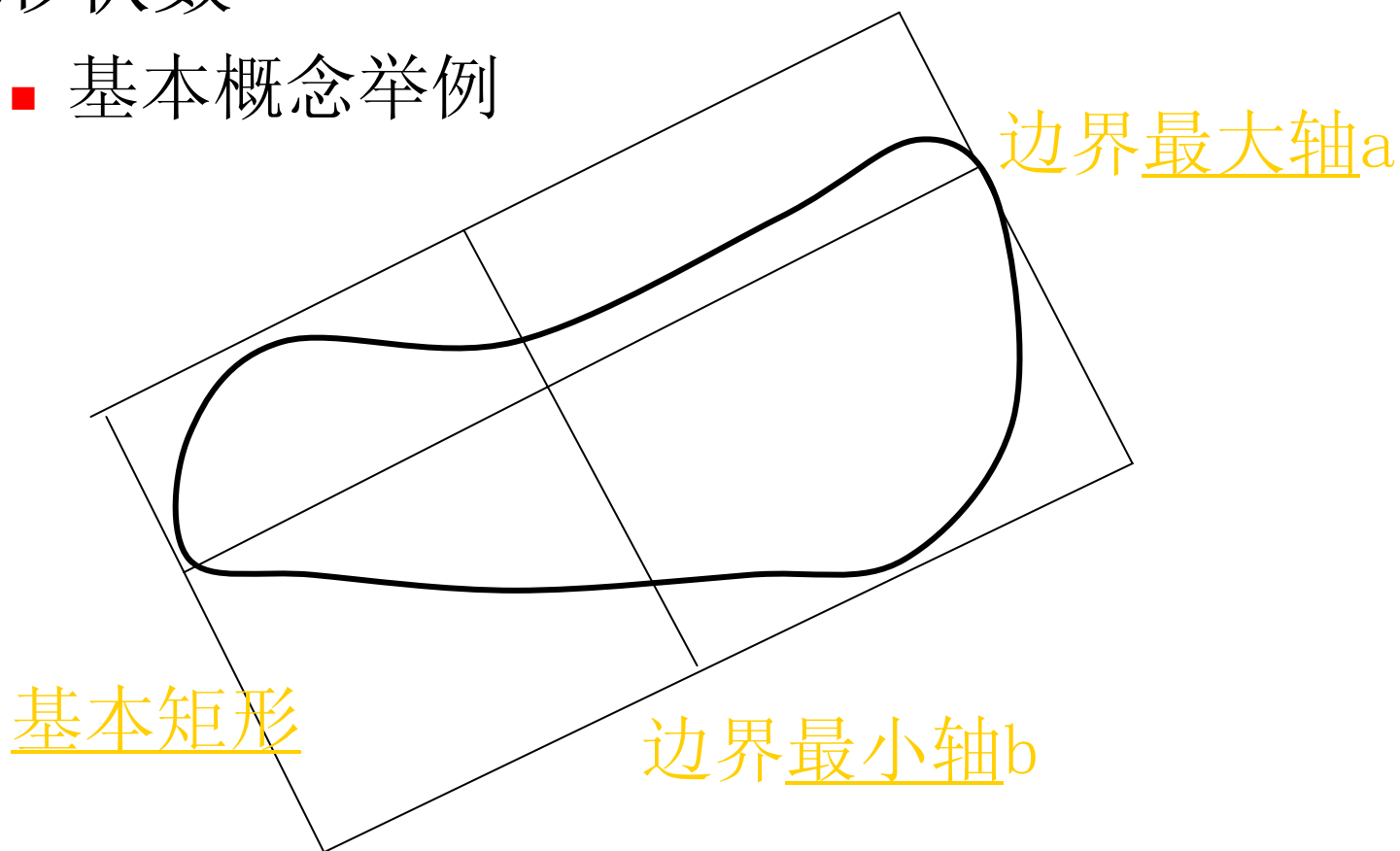
### ■ 几个基本概念：

- 边界最大轴**a**: 是连接距离最远的两个点的线段
- 边界最小轴**b**: 与最大轴垂直，且其长度确定的包围盒刚好包围边界。
- 边界离心率**c**: 最大轴长度与最小轴长度的比
$$c = a / b$$
- 基本矩形: 包围边界的矩形。

# 表示与描述：边界描述子

- 形状数

- 基本概念举例





# 表示与描述：边界描述子

---

## ■ 形状数

### ■ 规整化网格方向算法的思想：

大多数情况下，将链码网格与基本矩形对齐，即可得到一个唯一的形状数。

对一个给定的形状阶数，处理步骤如下：

(1) 我们找出一个阶数为 $n$ 的矩形，它的离心率最接近于给定形状的基本矩形的离心率。



# 表示与描述：边界描述子

---

## ■ 形状数

(2) 然后再用这个矩形构造网格。

例如：如果 $n=12$ ，所有阶数为12的矩形（即周长为12）为 $2*4$ ， $3*3$ ， $1*5$ 。如果 $2*4$ 矩形的离心率最接近于给定边界的基本矩形的离心率，我们建立一个 $2*4$ 的网格。

(3) 再得到链码。

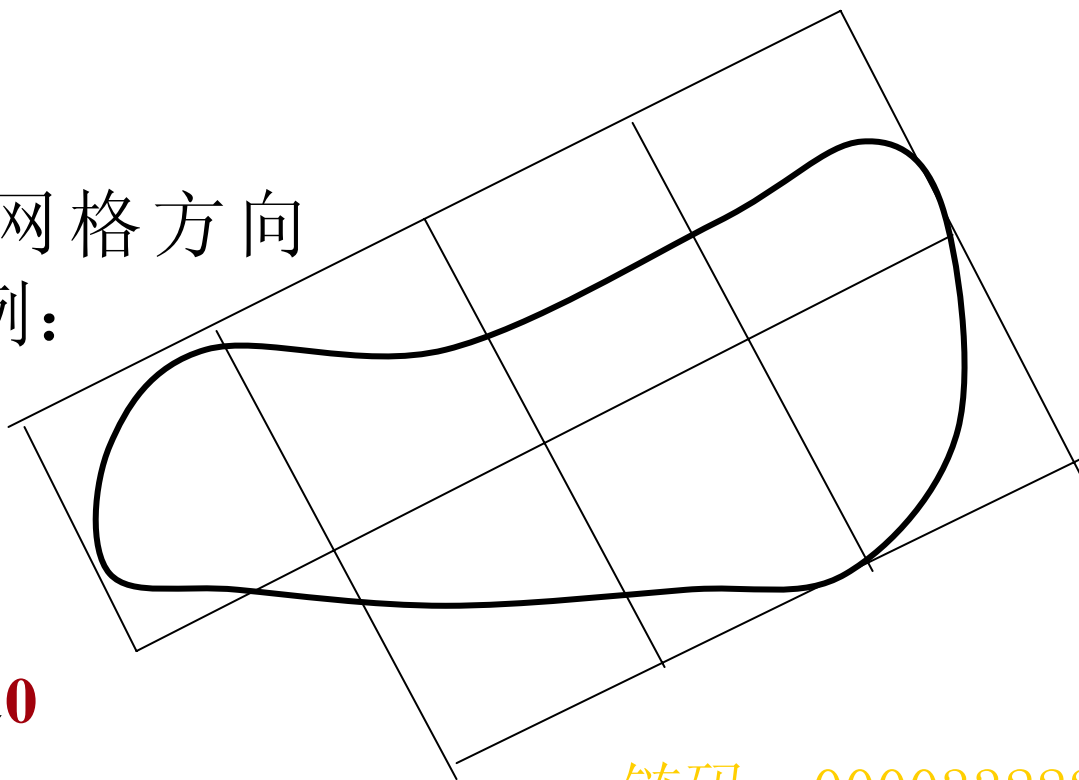
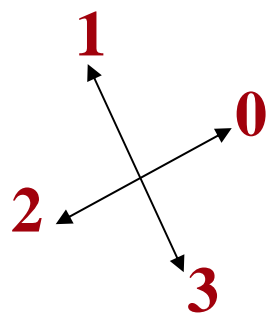
(4) 最后，再得到循环首差。

(5) 首差中的最小循环数即为形状数。

# 表示与描述：边界描述子

- 形状数

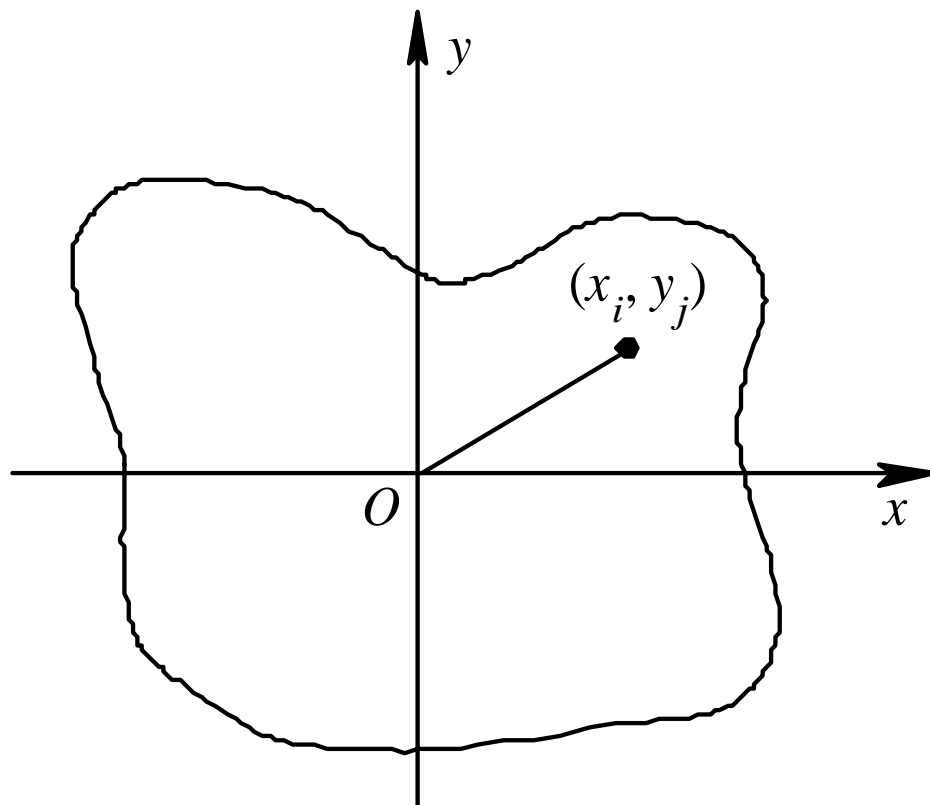
- 规整化网格方向  
算法举例：



链码：000033222121  
首差：300030300313  
形状：000303003133

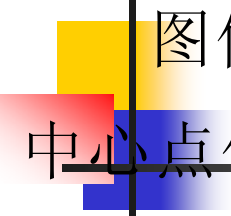
# 图像的几何特征

位置与方向



物体位置由质心表示






图像中的物体通常并不是一个点，因此，用物体的面积的中心点作为物体的位置。面积中心就是单位面积质量恒定的相同形状图形的质心O（见图9-1）。因二值图像质量分布是均匀的，故质心和形心重合。若图像中的物体对应的像素位置坐标为 $(x_i, y_j)$  ( $i=0, 1, \dots, n-1$ ;  $j=0, 1, \dots, m-1$ )，则可用下式计算质心位置坐标：

$$\bar{x} = \frac{1}{mn} \sum_{i=0}^{n-1} \sum_{j=0}^{m-1} x_i, \bar{y} = \frac{1}{mn} \sum_{i=0}^{n-1} \sum_{j=0}^{m-1} y_j \quad (9-1)$$

# 面积



面积是物体的总尺寸的一个方便的度量。面积只与该物体的边界有关，而与其内部灰度级的变化无关。一个形状简单的物体可用相对较短的周长来包围它所占有的面积。

## 1. 像素计数面积

最简单的(未校准的)面积计算方法是统计边界内部(也包括边界上)的像素的数目。在这个定义下面积的计算非常简单，求出域边界内像素点的总和即可，计算公式如下：

$$A = \sum_{x=1}^N \sum_{y=1}^M f(x, y)$$

对二值图像而言，若用1表示物体，用0表示背景，其面积就是统计 $f(x, y) = 1$ 的个数。

距离

图像中两点 $P(x, y)$ 和 $Q(u, v)$ 之间的距离是重要的几何性质，常用如下三种方法测量：

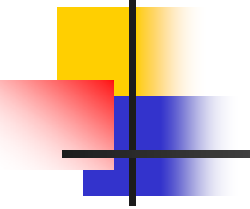
(1) 欧几里德距离：

$$d_e(P, Q) = \sqrt{(x - u)^2 + (y - v)^2} \quad (9-10)$$

(2) 市区距离：

$$d_4(P, Q) = |x - u| + |y - v| \quad (9-11)$$

(3) 棋盘距离:


$$d_8(P, Q) = \max(|x - u|, |y - v|) \quad (9-12)$$

显然，以 $P$ 为起点的市区距离小于等于 $t$  ( $t=1, 2, \dots$ ) 的点形成以 $P$ 为中心的菱形。图9-5(a)为 $t \leq 2$ 时用点的距离表示的这些点。可见， $d_4(P, Q)$ 是从 $P$ 到 $Q$ 最短的4路径的长度。同样，以 $P$ 为起点的棋盘距离小于等于 $t$  ( $t=1, 2, \dots$ ) 的点形成以 $P$ 为中心的正方形。例如，当 $t \leq 2$ ，用点的距离表示这些点时，如图9-5 (b) 所示。同样由图可见， $d_8(P, Q)$ 是从 $P$ 到 $Q$ 最短的8路径的长度。

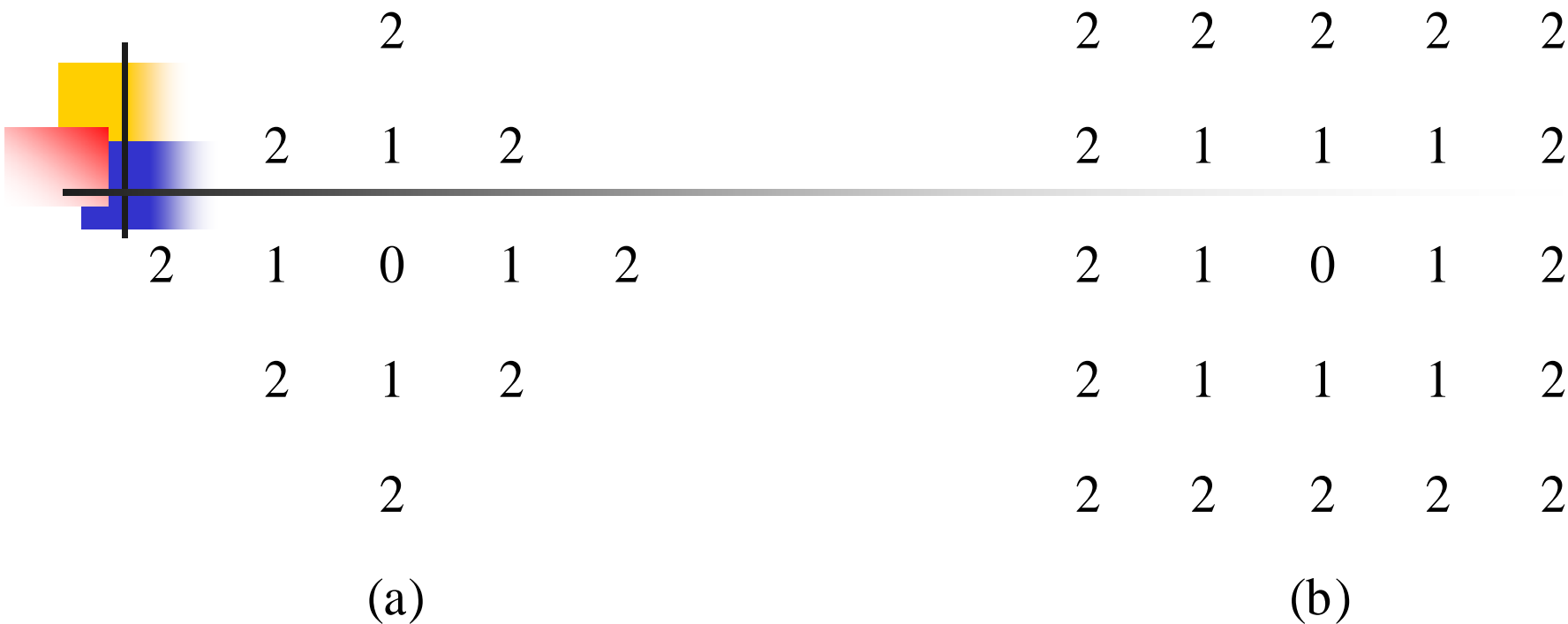
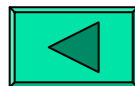


图9-5 两种距离表示法  
 (a)  $d_4(P, Q) \leq 2$ ; (b)  $d_8(P, Q) \leq 2$

$d_4$ 、 $d_8$ 计算简便，且为正整数，因此常用来测距离，而欧几里德距离很少被采用。



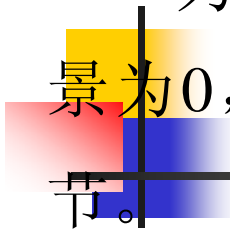
# 不变矩

## 1. 矩的定义

对于二元有界函数 $f(x, y)$ ，它的 $(j + k)$ 阶矩为

$$M_{jk} = \int_{-\infty}^{+\infty} \int_{-\infty}^{+\infty} x^j y^k f(x, y) dx dy \quad j, k = 0, 1, 2, \dots \quad (9-23)$$

由于 $j$ 和 $k$ 可取所有的非负整数值，因此形成了一个矩的无限集。而且，这个集合完全可以确定函数 $f(x, y)$ 本身。换句话说，集合 $\{M_{jk}\}$ 对于函数 $f(x, y)$ 是惟一的，也只有 $f(x, y)$ 才具有这种特定的矩集。



为了描述物体的形状，假设 $f(x, y)$ 的目标物体取值为1，背景为0，即函数只反映了物体的形状而忽略其内部的灰度级细节。

参数 $j+k$ 称为矩的阶。特别地，零阶矩是物体的面积，即

$$M_{00} = \int_{-\infty}^{+\infty} \int_{-\infty}^{+\infty} f(x, y) dx dy \quad (9-24)$$

对二维离散函数 $f(x, y)$ ，零阶矩可表示为

$$M_{00} = \sum_{x=1}^N \sum_{y=1}^M f(x, y) \quad (9-25)$$

所有的一阶矩和高阶矩除以 $M_{00}$ 后，与物体的大小无关。

## 2. 质心坐标与中心矩

当 $j=1, k=0$ 时,  $M_{10}$ 对二值图像来讲就是物体上所有点的 $x$ 坐标的总和, 类似地,  $M_{01}$ 就是物体上所有点的 $y$ 坐标的总和, 所以

$$\bar{x} = \frac{M_{10}}{M_{00}}, \bar{y} = \frac{M_{01}}{M_{00}} \quad (9-26)$$

就是二值图像中一个物体的质心的坐标。

为了获得矩的不变特征, 往往采用中心矩以及归一化的中心矩。中心矩的定义为

$$M'_{jk} = \sum_{x=1}^N \sum_{y=1}^M (x - \bar{x})^j (y - \bar{y})^k f(x, y) \quad (9-27)$$



### 3. 主轴

使二阶中心矩从  $\mu_{11}$  变得最小的旋转角  $\theta$  可以由下式得出：

$$\tan 2\theta = \frac{2\mu_{11}}{\mu_{20} - \mu_{02}} \quad (9-28)$$

将  $x$ 、 $y$  轴分别旋转  $\theta$  角得坐标轴  $x'$ 、 $y'$ ，称为该物体的主轴。式9-28中在  $\theta$  为  $90^\circ$  时的不确定性可以通过如下条件限定解决：

$$\mu_{20} < \mu_{02}, \mu_{30} > 0$$

如果物体在计算矩之前旋转  $\theta$  角，或相对于  $x'$ 、 $y'$  轴计算矩，那么矩具有旋转不变性。

## 4. 不变矩

相对于主轴计算并用面积归一化的中心矩，在物体放大、平移、旋转时保持不变。只有三阶或更高阶的矩经过这样的归一化后不能保持不变性。

对于 $j+k = 2, 3, 4 \dots$ 的高阶矩，可以定义归一化的中心矩为

$$\mu_{jk} = \frac{M'_{jk}}{(M_{00})^r}, r = \left( \frac{j+k}{2} + 1 \right)$$

利用归一化的中心矩，可以获得六个不变矩组合，这些组合对于平移、旋转、尺度等变换都是不变的，它们是：



$$\varphi_1 = \mu_{20} + \mu_{02} \quad (9-30a)$$

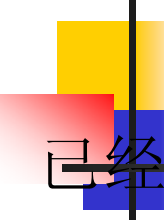
$$\varphi_2 = (\mu_{20} - \mu_{02})^2 + 4\mu_{11}^2 \quad (9-30b)$$

$$\varphi_3 = (\mu_{30} - 3\mu_{12})^2 + (\mu_{03} - 3\mu_{21})^2 \quad (9-30c)$$

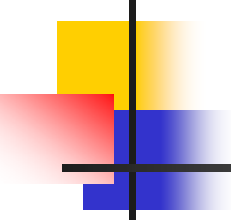
$$\varphi_4 = (\mu_{30} + \mu_{12})^2 + (\mu_{03} + \mu_{21})^2 \quad (9-30d)$$

$$\begin{aligned} \varphi_5 = & (\mu_{30} - 3\mu_{12})(\mu_{03} + \mu_{12}) \times [(\mu_{30} + \mu_{12})^2 - 3(\mu_{21} + \mu_{03})^2] \\ & + (\mu_{03} - 3\mu_{21})(\mu_{30} + \mu_{21}) \times [(\mu_{03} + \mu_{21})^2 - 3(\mu_{12} + \mu_{30})^2] \end{aligned} \quad (9-30e)$$

$$\varphi_6 = (\mu_{20} - \mu_{02})[(\mu_{30} + \mu_{12})^2 - (\mu_{21} + \mu_{03})^2] + 4\mu_{11}(\mu_{30} + \mu_{21})(\mu_{03} + \mu_{21}) \quad (9-30f)$$



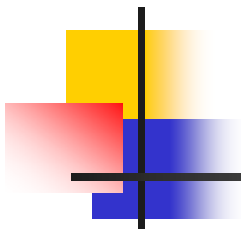
不变矩及其组合具备了好的形状特征应具有的某些性质，  
~~已经用于印刷体字符的识别、飞机形状区分、景物匹配和染色~~  
体分析中，但它们并不能确保在任意情况下都具有这些性质。  
一个物体形体的惟一性体现在一个矩的无限集中，因此，要区  
别相似的形体需要一个很大的特征集。这样所产生的高维分类  
器对噪声和类内变化十分敏感。在某些情况下，几个阶数相对  
较低的矩可以反映一个物体的显著形状特征。



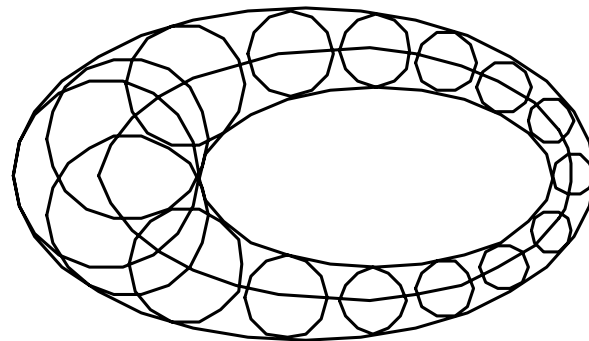
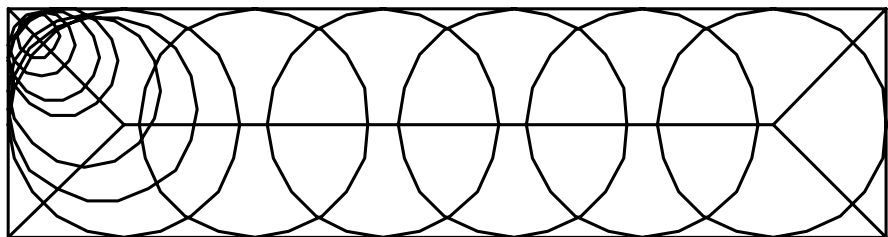
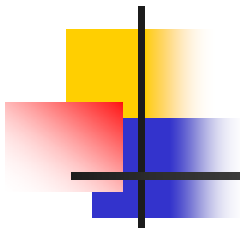
# 中轴变换与骨架提取

---

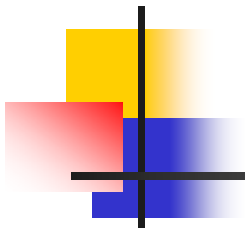
把一个平面区域简化成图是一种重要的结构形状表示法。利用细化技术得到区域的骨架是常用的方法。中轴变换(Mdial Axis Transfonn, MAT)是一种用来确定物体骨架的细化技术。具有边界B的区域R的MAT是按如下方法确定的： 对每个R中的点P，在B中搜寻与它最近的点；如果对P能找到多于一个这样的点（即有两个或两个以上的B中的点与P同时最近），就可认为P属于R的中线或骨架， 或者说P是一个骨架点。



理论上讲，每个骨架点保持了其与边界点距离最小的性质，因此用以每个骨架点为中心的圆的集合（利用合适的量度），就可恢复出原始的区域来。具体讲就是以每个骨架点为圆心，以前述最小距离为半径作圆周，它们的包络就构成了区域的边界，填充圆周就得到区域。或者以每个骨架点为圆心，以所有小于和等于最小距离的长度为半径作圆，这些圆的并集就覆盖了整个区域。中轴变换示意如图9-16所示。



中轴变换示意图

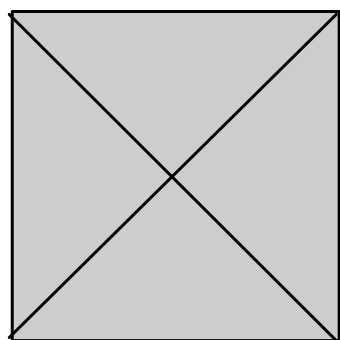
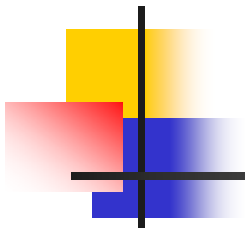


由上述讨论可知，骨架是用一个点与一个点集的最小距离来定义的，可写成

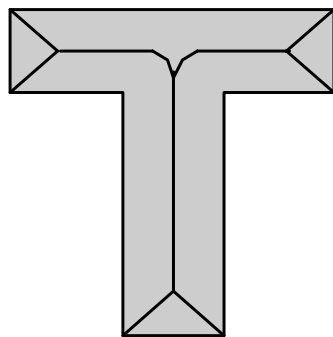
$$d_s(p, B) = \inf\{d(p, z) \mid z \in B\} \quad (9-54)$$

其中距离量度可以是欧几里德、市区或棋盘距离。因为最小距离取决于所用的距离量度，所以MAT的结果也和所用的距离量度有关。

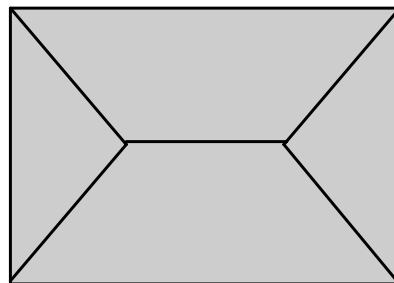




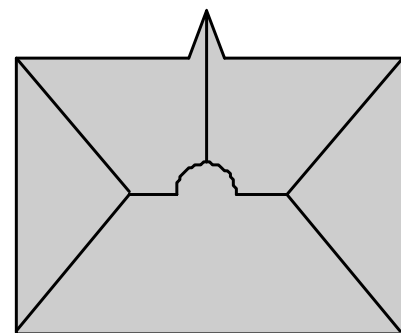
(a)



(b)




(c)



(d)

一些区域和用欧氏距离算出的骨架示例

## 四叉树




四叉树表达表示图像是一个“金字塔”式的观察和处理过程。这种数据结构是一种有效的对空间占有数组的编码，可以很好地描述一幅图像。当图像是方形的，且像素点的个数是2的整数次幂（即图像尺寸为 $2^k \times 2^k$ ， $k$ 为正整数）时四叉树法最适用。如图9-23所示，在这种表达中，所有的节点可分成三类：目标节点(用白色表示)、背景节点(用深色表示)和混合节点(用浅色表示)。四叉树的树根对应整幅图，而树叶对应各单个像素或具有相同特性的像素组成的方阵。四叉树由多级构成，数根在0级，分一次又多一级。对于一个有 $n$ 级的四叉树，其节点总数

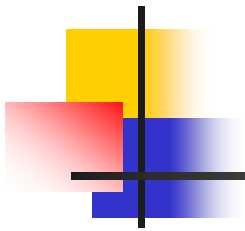
$N$ 最多为

$$N = \sum_{i=0}^n 4^i = \frac{4^{n+1} - 1}{3} \approx \frac{4}{3} 4^n \quad (9-70)$$





四叉树表示图像的具体做法是：树的根节点表示整幅图像。如果该图像只有一个值，就用那个值和终点标记根节点；否则，在根节点上加上4个分支，产生新的节点，每个分支表示1 / 4图像。对每个新节点重复上述过程，直到整个四叉树产生为止。通常，在 $h$ 层上的节点(如果有的话)表示尺寸为 $2^{k-h} \times 2^{k-h}$ 的块，那些块的坐标位置是 $2^{k-h}$ 的倍数。假如其中一块为同一值，它的节点即叶节点；否则，会产生 $h+1$ 层上的4个分支，将 $h$ 层上的块4等分。在 $n$ 层上的节点(假如有的话)全对应于单个像素的叶节点。



四叉树表达的优点是：四叉树容易生成得到，根据它可方便地计算区域的多种特征；另外，四叉树本身的结构特点使得它常用在“粗略信息优先”的显示中。它的缺点是：如果节点在树中的级确定后，分辨率就不可能进一步提高；另外，四叉树间的运算只能在同级的节点间进行。四叉树表达在三维空间的对应是八叉树(也叫八元树)表达。

